

*Аналитический сигнал,
томографическое представление и его
применения для анализа медицинских
сигналов*

Ю.М. Белоусов, Н.А. Елкин,
А.М. Кончаков, В.И. Манько

Tomograms and other transforms: a unified view

M A Man'ko^{1,2}, V I Man'ko^{1,2} and R Vilela Mendes^{2,3}

J. Phys. A: Math. Gen. 34 (2001) 8321–8332

PII: S0305-4470(01)24342-X

Signal recognition and adapted filtering by
non-commutative tomography

Carlos Aguirre * R. Vilela Mendes †

[arXiv:1211.5986v1](https://arxiv.org/abs/1211.5986v1) [physics.data-an] 26 Nov 2012

Signals on graphs: Transforms and tomograms

R. Vilela Mendes^{a,*}, Hugo C. Mendes^b, Tanya Araújo^c

[Physica A 450 \(2016\) 1–17](#)

$$f(t) = \langle t|f \rangle, \quad \hat{t}f(t) = tf(t),$$

$$[\hat{t}, \hat{\omega}] = i, \quad \hat{\omega}f(t) = -i\frac{\partial f(t)}{\partial t}.$$

$$\langle t|\omega \rangle = \frac{1}{\sqrt{2\pi}}e^{i\omega t}.$$

Действительному сигналу $f(t)$ ставится в соответствие так называемый “аналитический сигнал” $f_a(t) = \langle t|f_a \rangle$ по следующему правилу. Рассмотрим преобразование Фурье действительной функции²:

$$\langle \omega|f \rangle = \frac{1}{2\pi} \int dt f(t)e^{-i\omega t} \equiv \int dt \langle \omega|t \rangle \langle t|f \rangle,$$

Комплексный аналитический сигнал $f_a(t)$ определяется “волновой функцией” в частотном представлении как

$$\langle \omega | f_a \rangle = \langle \omega | f \rangle \theta(\omega).$$

Здесь функция Хевисайда

$$\theta(\omega) = \frac{1}{2} \left(1 + \frac{|\omega|}{\omega} \right) = \begin{cases} 1, & \omega > 0, \\ 0, & \omega < 0. \end{cases}$$

Таким образом, в разложении Фурье аналитического сигнала $f_a(t)$ при $\omega > 0$ его фурье-компоненты совпадают с фурье-компонентами действительного сигнала $f(t)$, а для отрицательных частот $\omega < 0$ равны нулю.

“Волновая функция” аналитического сигнала $|f_a\rangle$ во временном представлении определяется как

$$\langle t | f_a \rangle = f_a(t) = \frac{1}{\sqrt{2\pi}} \int d\omega \langle \omega | f \rangle \theta(\omega) e^{i\omega t} = \frac{1}{\sqrt{2\pi}} \int_0^{\infty} d\omega \langle \omega | f \rangle e^{i\omega t},$$

$$f_a(t) = \int_{-\infty}^{\infty} dt' \int_0^{\infty} \frac{d\omega}{2\pi} f(t') e^{i\omega(t-t')}.$$

$$\delta_-(t) = \int_0^{\infty} \frac{d\omega}{2\pi} f(t') e^{i\omega t} = \frac{1}{2} \delta(t) + \frac{i}{\pi} \wp \frac{1}{t},$$

$$f_a(t) = \frac{1}{2} f(t) - \frac{i}{\pi} \wp \int_{-\infty}^{\infty} dt' \frac{f(t')}{t-t'}.$$

$$f(t) = f_a(t) + f_a^*(t),$$

$$\begin{aligned}
f_a(t) &= \int_{-\infty}^{\infty} dt' \int_0^{\infty} \frac{d\omega}{2\pi} (f_a(t') + f_a^*(t')) e^{i\omega(t-t')} = \\
&= \int_{-\infty}^{\infty} dt' \int_{-\infty}^{\infty} \frac{d\omega}{2\pi} f_a(t') e^{i\omega(t-t')}.
\end{aligned}$$

$$\frac{1}{2\pi} \int_0^{\infty} d\omega \left[\int_{-\infty}^{\infty} dt' f_a(t') e^{i\omega(t-t')} \right] = f_a(t),$$

поэтому интеграл от аналитического сигнала с обобщенной функцией $\delta_-(t-t')$ и с “полной” δ -функцией совпадают.

Матрица плотности, функция Вигнера и томограмма сигнала

$$\langle f'|f\rangle = \delta(f - f') \quad \text{и} \quad \int df |f\rangle\langle f| = \hat{1}.$$

При этом считается, что амплитуда сигнала принимает непрерывные значения в некотором интервале $[f_{\min}, f_{\max}]$, т.е. имеет непрерывный спектр. Если сигнал представлен в цифровом виде, он принимает дискретные значения,

$$\langle f'|f\rangle = \delta_{f,f'} \quad \text{и} \quad \sum_{f=f_{\min}}^{f_{\max}} |f\rangle\langle f| = \hat{1}.$$

$$\rho^s = |f\rangle\langle f|,$$

или во “временном представлении”

$$\rho^s(t, t') = \langle t|f\rangle\langle f|t'\rangle \equiv f(t)f^*(t').$$

Определим теперь функцию Вигнера сигнала как

$$W^s(k, t) = \int_{-\infty}^{+\infty} dx \rho^s \left(t + \frac{x}{2}, t - \frac{x}{2} \right) e^{-ikx},$$

$$\rho^s(t, t') = \int_{-\infty}^{+\infty} \frac{dk}{2\pi} W^s \left(k, \frac{t+t'}{2} \right) e^{ik(t-t')}.$$

$$f(t)f^*(0) = \int_{-\infty}^{+\infty} \frac{dk}{2\pi} W^s \left(k, \frac{t}{2} \right) e^{ikt}.$$

$$f^*(0) = |f(0)|e^{-i\varphi(0)},$$

$$f(t) = e^{i\varphi(0)} \frac{\frac{1}{2\pi} \int_{-\infty}^{+\infty} dk W^s(k, \frac{t}{2}) e^{ikt}}{\sqrt{\frac{1}{2\pi} \int_{-\infty}^{+\infty} dk W^s(k, 0)}}.$$

Теперь можно определить томограмму сигнала

$$w^s(x, \mu, \nu) = \int \int \int_{infy}^{\infty} \frac{dt dk du}{(2\pi)^2} W^s(k, t) e^{-iu(x - \mu t - \nu k)}$$

$$w^s(x, \mu, \nu) = \int \int \int \int \frac{dt dk du dy}{(2\pi)^2} f(t + y/2) f^*(t - y/2) e^{-iky} e^{-iu(x - \mu t - \nu k)}.$$

$$\int_{-\infty}^{\infty} dk e^{-ik(y-\nu u)} = 2\pi\delta(y - \nu u),$$

$$w^s(x, \mu, \nu) = \frac{1}{2\pi} \iiint dt du dy f(t + y/2) f^*(t - y/2) e^{-iu(x-\mu t)} \delta(y - \nu u).$$

Выполняя интегрирование по переменной u получаем:

$$w^s(x, \mu, \nu) = \frac{1}{2\pi|\nu|} \iint dt dy f(t + y/2) f^*(t - y/2) e^{-i\frac{y}{\nu}(x-\mu t)}.$$

$$t = (z + q)/2, \quad y = z - q.$$

Якобиан преобразования (28) равен -1, но поскольку пределы интегрирования распространяются от $-\infty$ до $+\infty$ имеем:

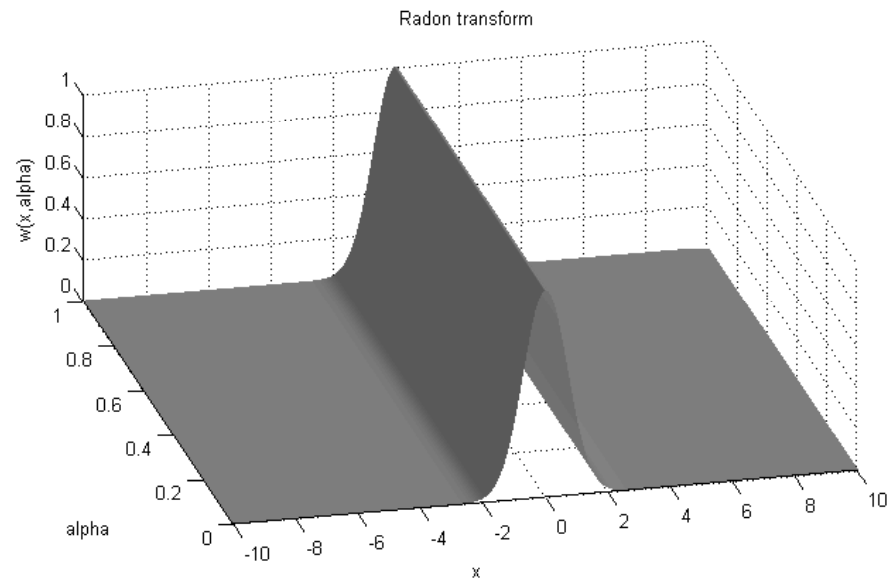
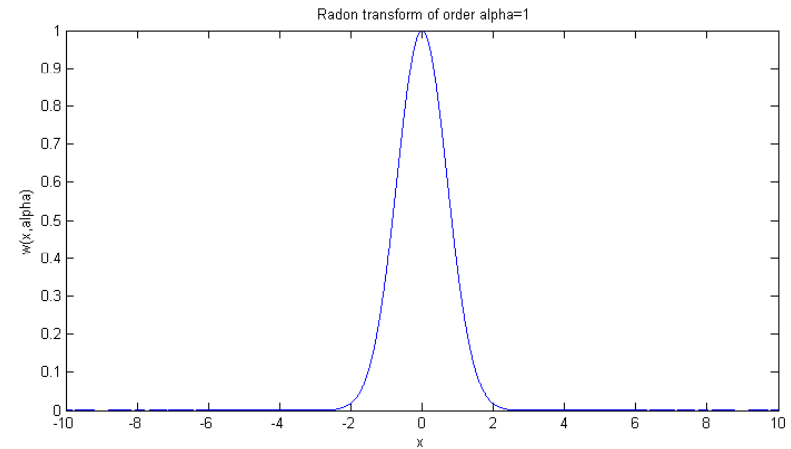
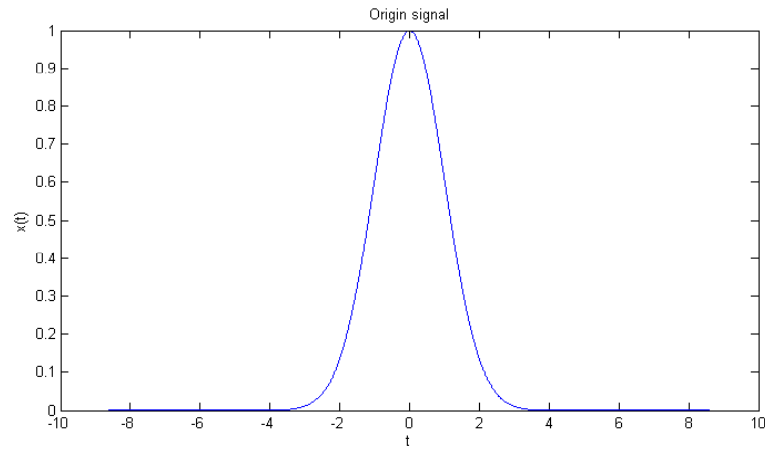
$$\begin{aligned}
w^s(x, \mu, \nu) &= \frac{1}{2\pi|\nu|} \iint dz dq f(z) f^*(q) e^{-i\frac{1}{\nu}((z-q)x - \mu(z^2 - q^2)/2)} = \\
&= \frac{1}{2\pi|\nu|} \left| \int_{-\infty}^{\infty} dz f(z) e^{\frac{i\mu}{2\nu} z^2 - \frac{ixz}{\nu}} \right|^2.
\end{aligned}$$

Вводя “привычное” обозначение переменной интегрирования буквой t запишем определение томограммы как

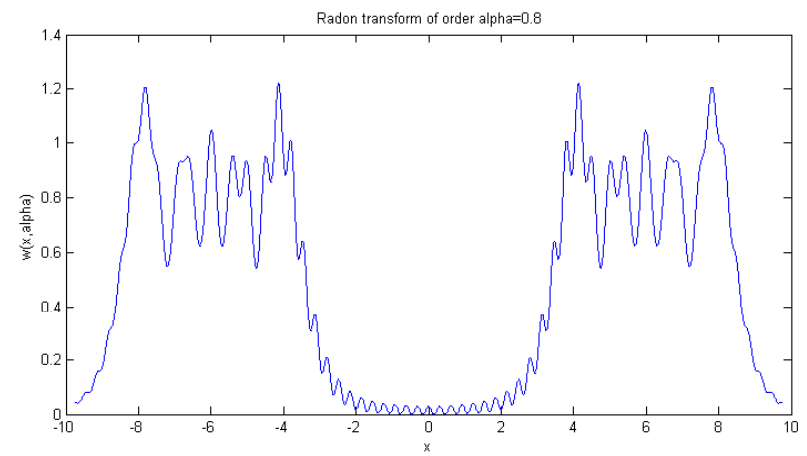
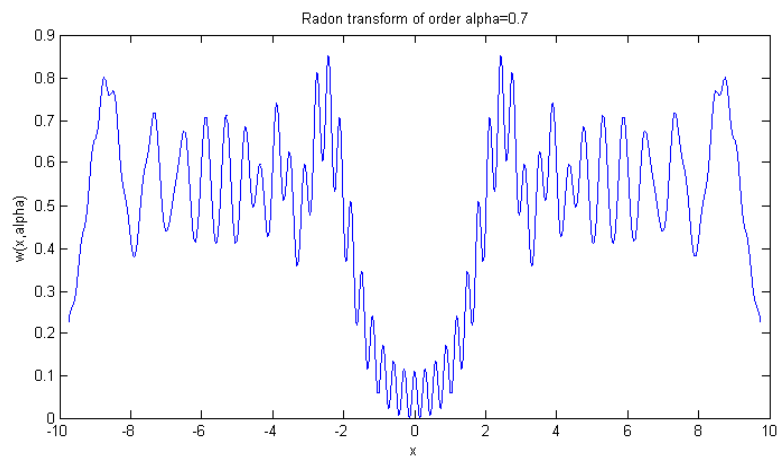
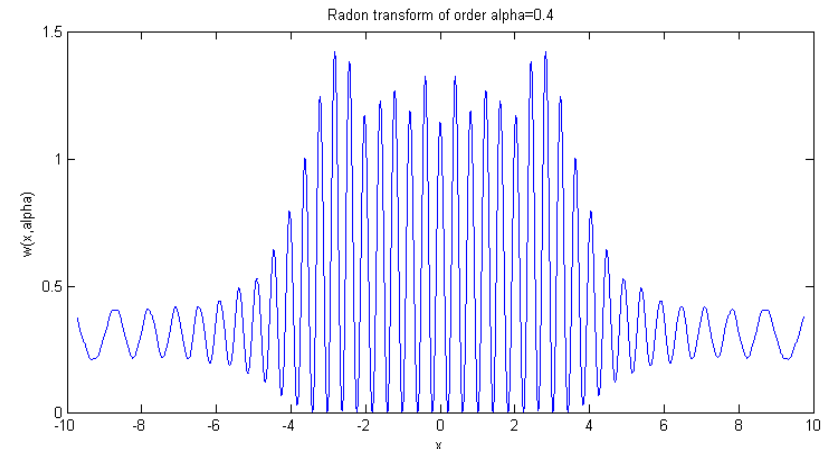
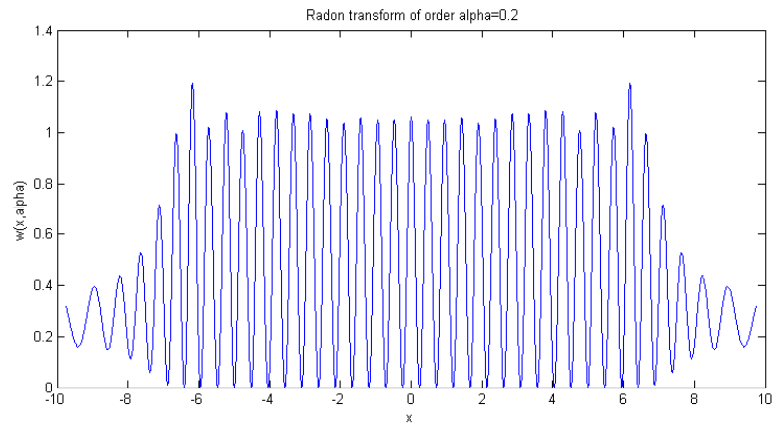
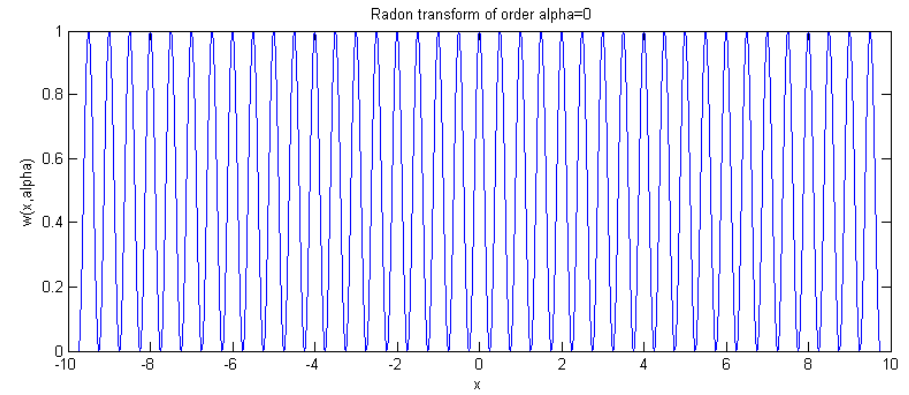
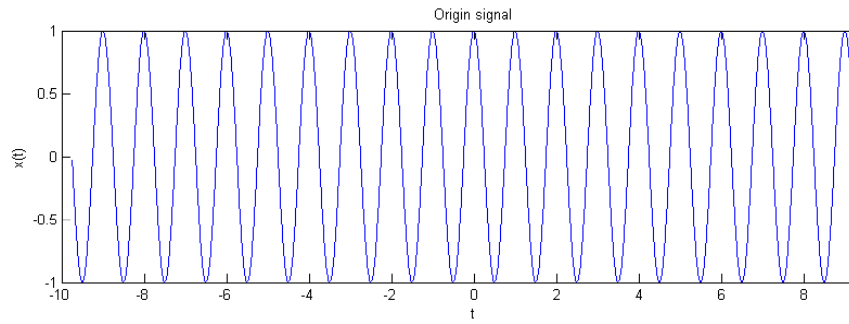
$$w^s(x, \mu, \nu) = \frac{1}{2\pi|\nu|} \left| \int_{-\infty}^{\infty} f(t) \exp \left[\frac{i\mu}{2\nu} t^2 - \frac{ixt}{\nu} \right] dt \right|^2.$$

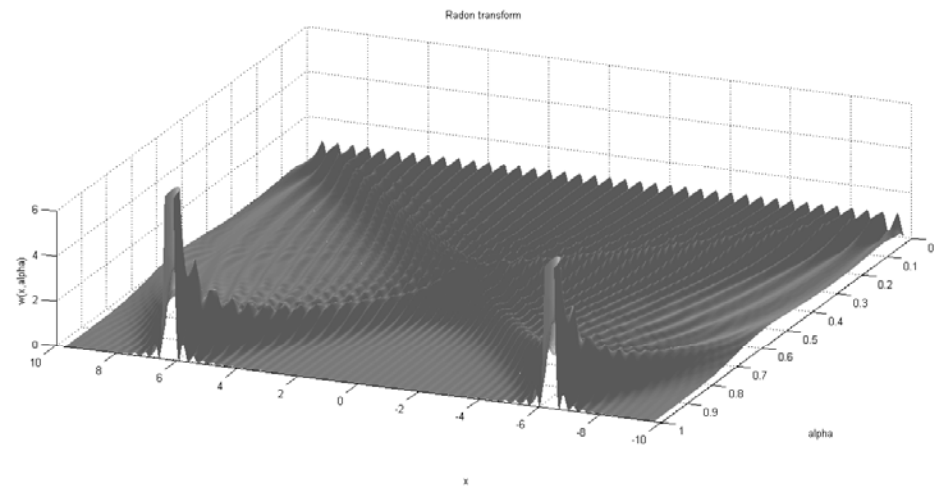
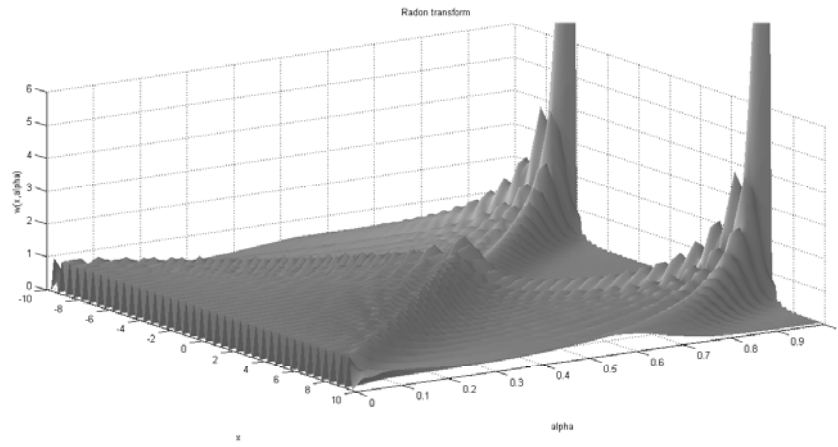
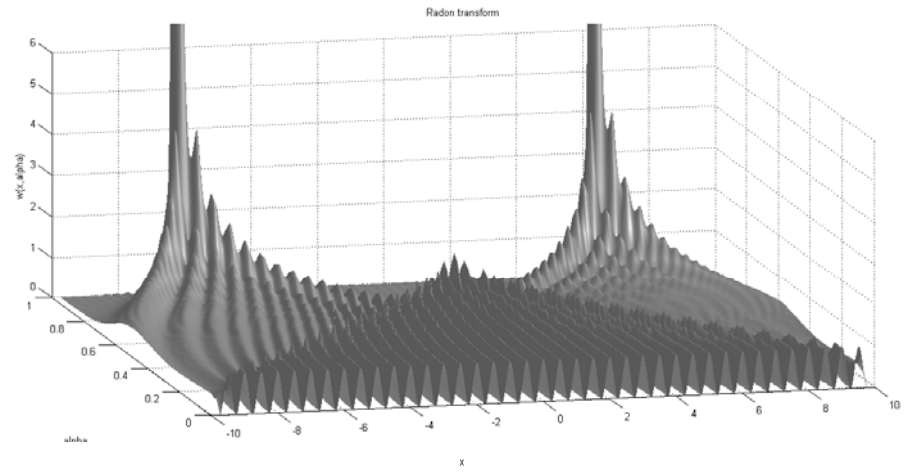
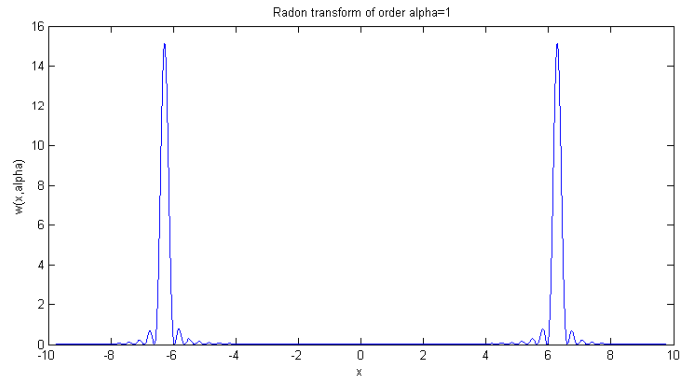
Тестирование программы численного счета

Распределение Гаусса

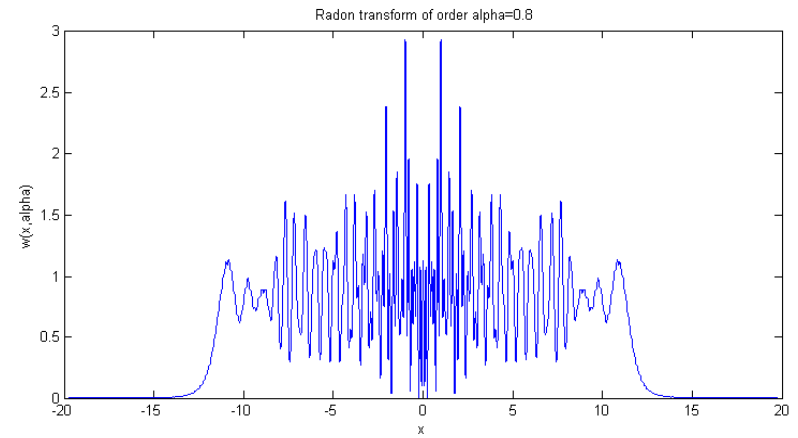
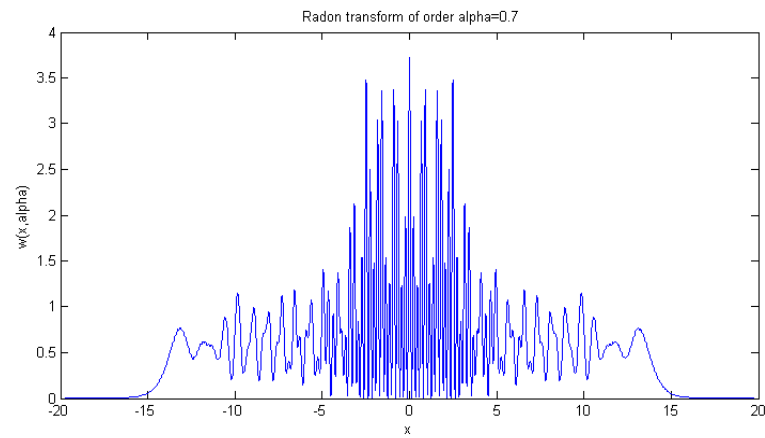
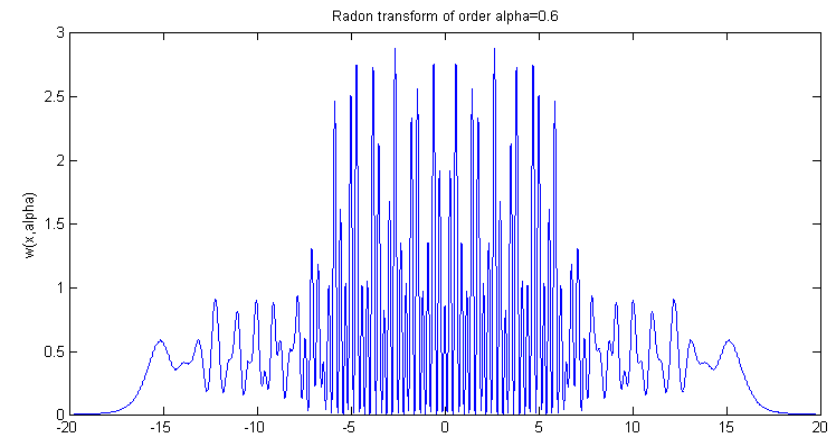
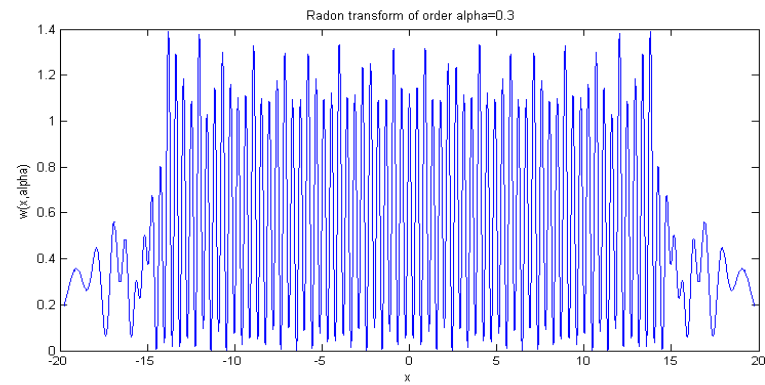
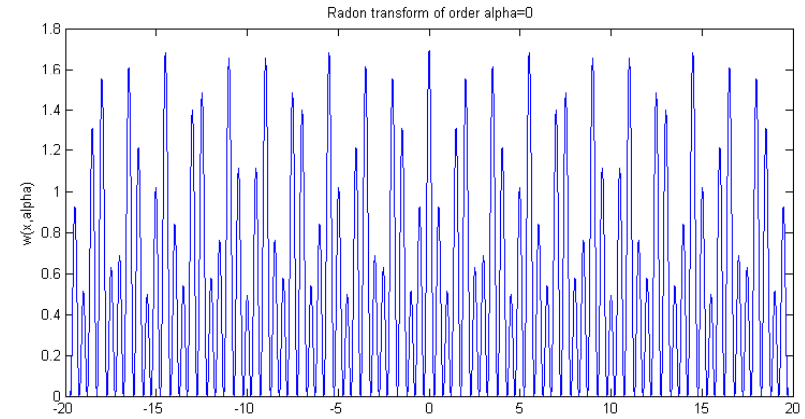
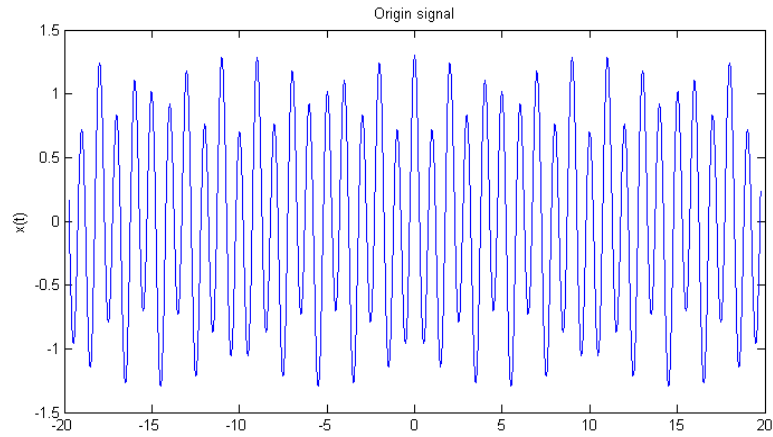


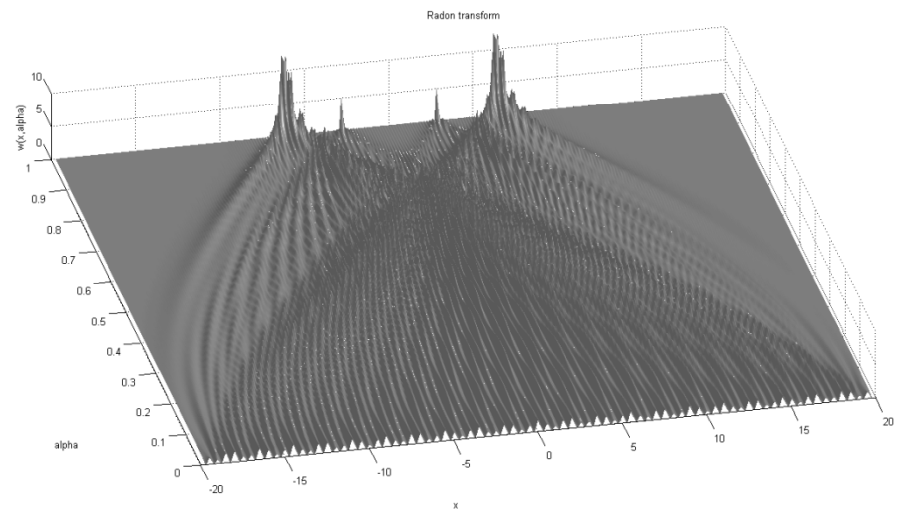
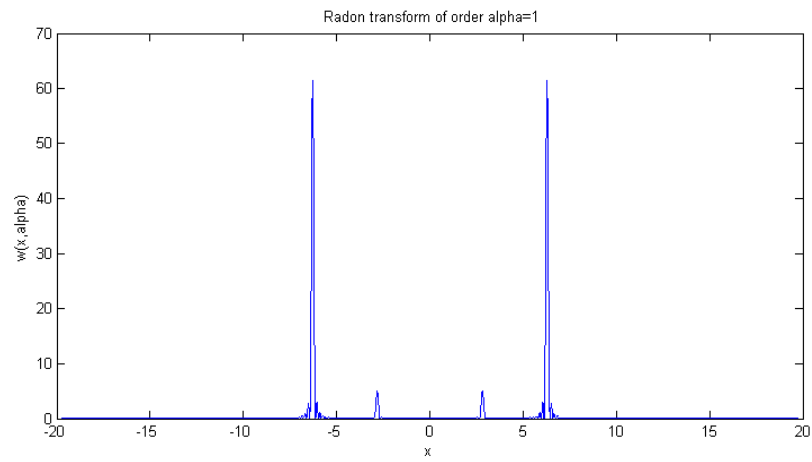
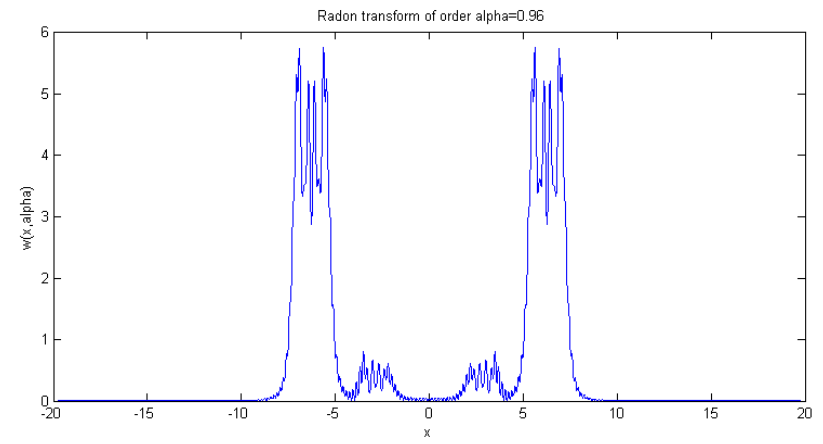
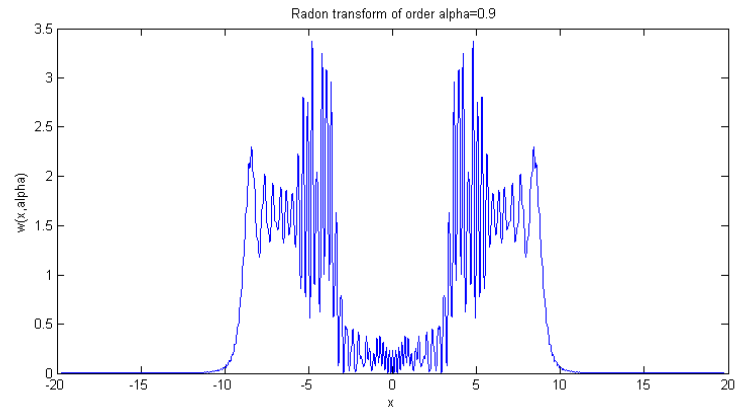
Периодический сигнал





Модулированный периодический сигнал



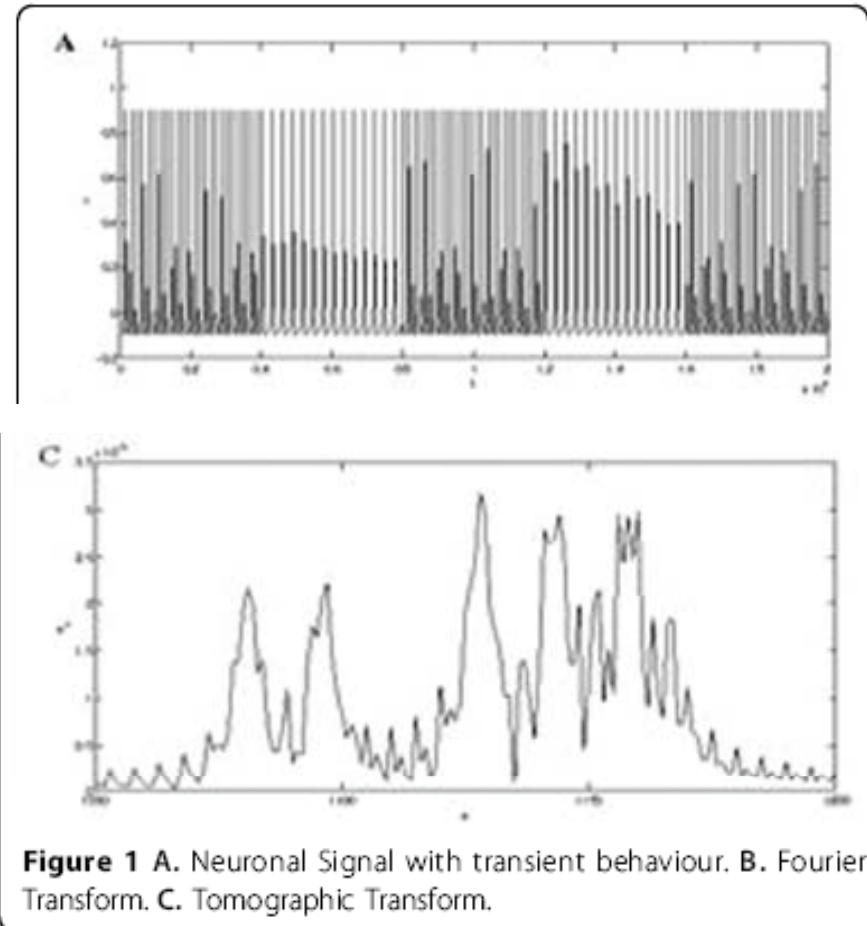
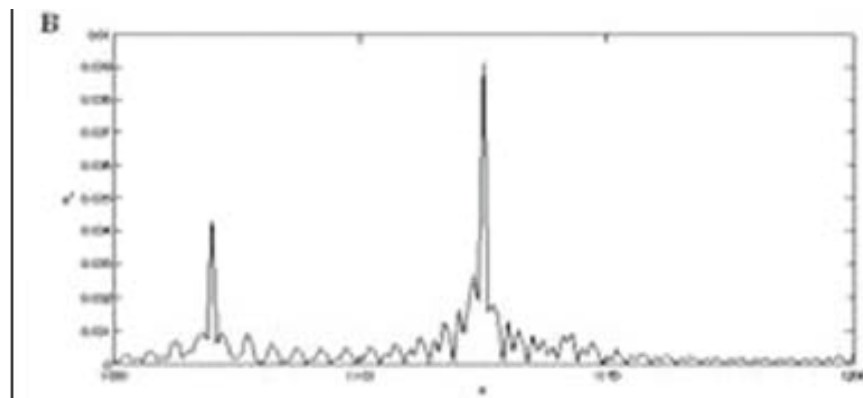


POSTER PRESENTATION

Open Access

Single neuron transient activity detection by means of tomography

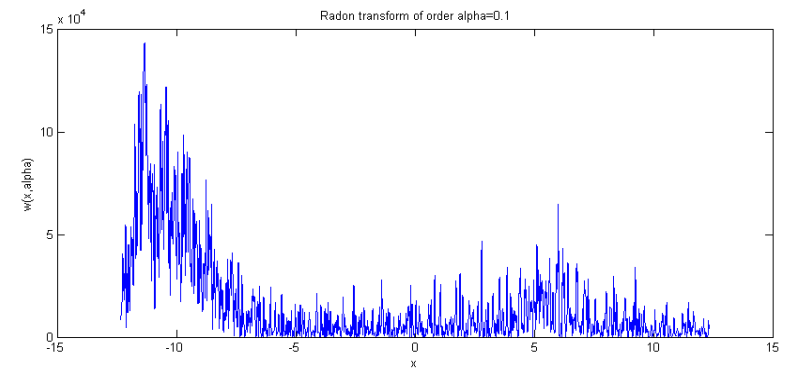
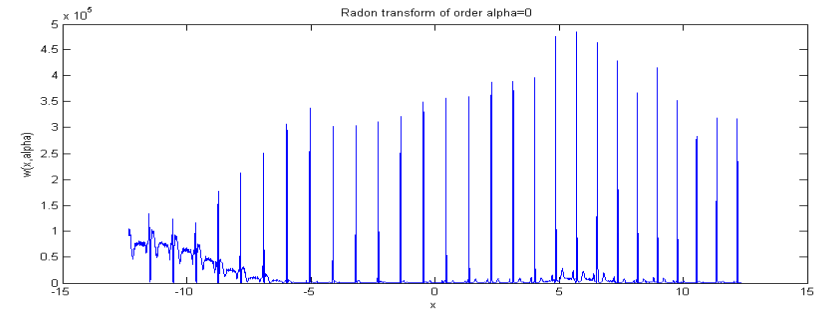
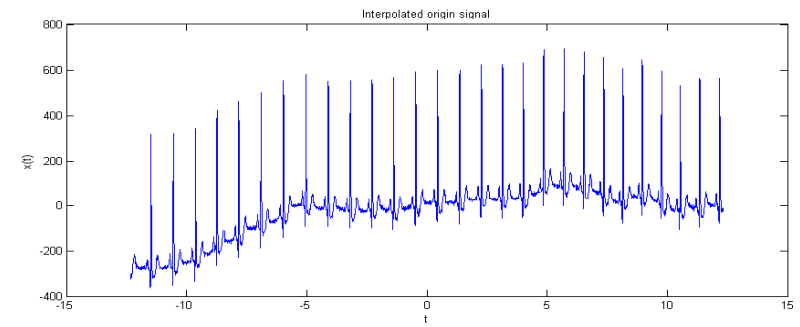
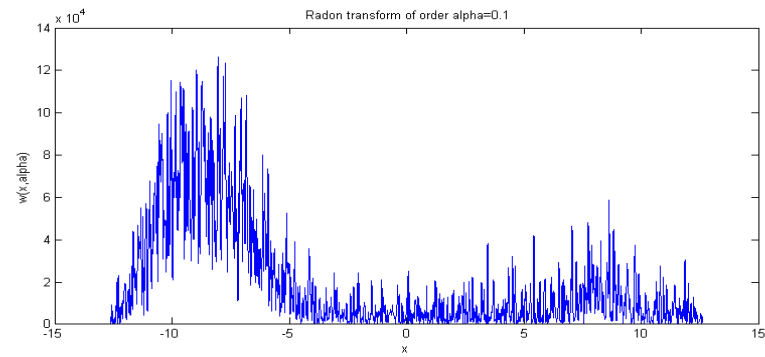
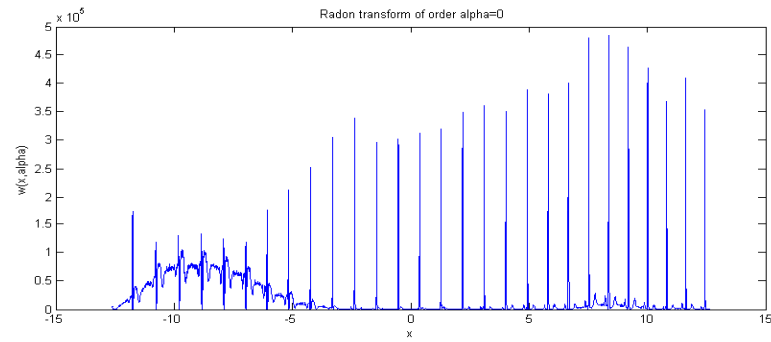
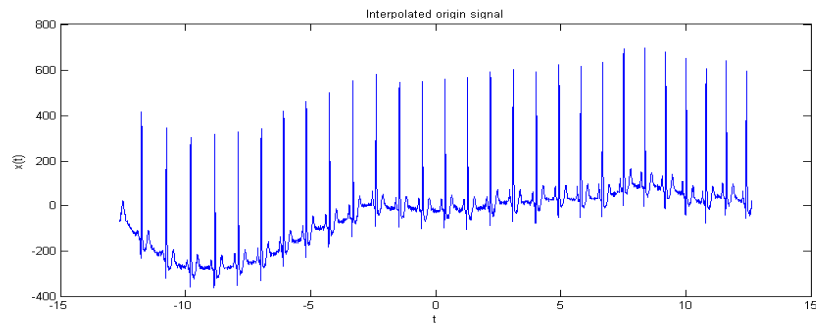
Carlos Aguirre*, Pedro Pascual, Doris Campos, Eduardo Serrano

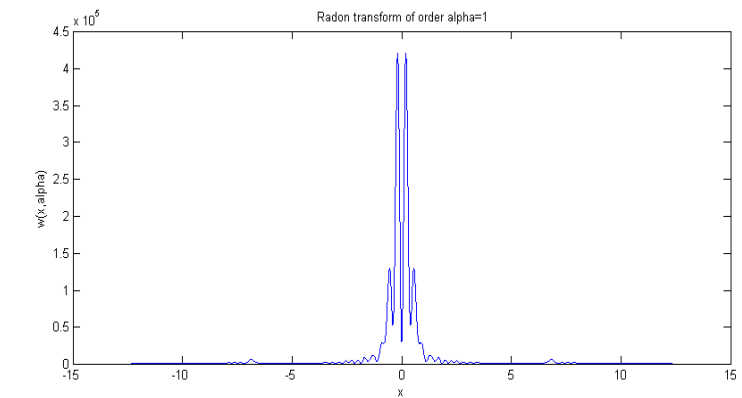
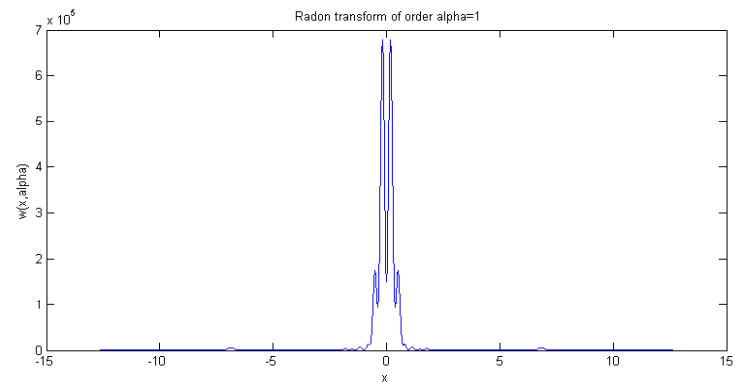
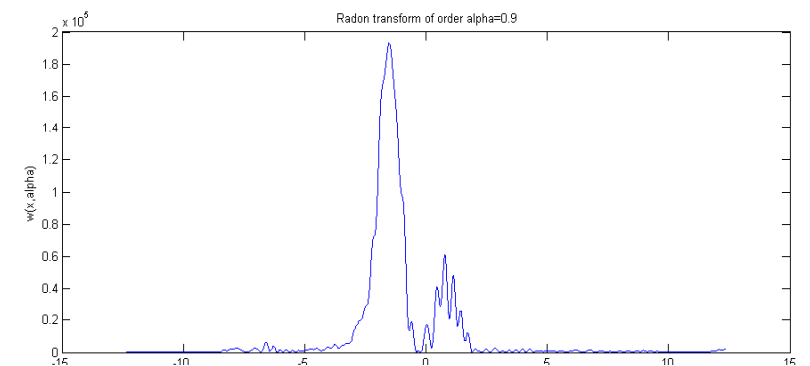
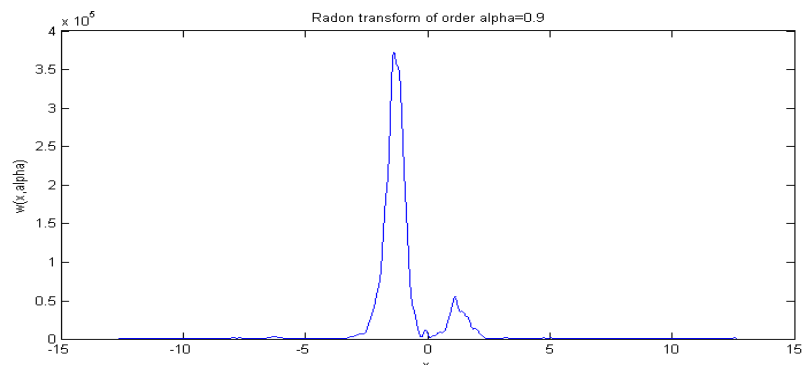


Интервал 250-274

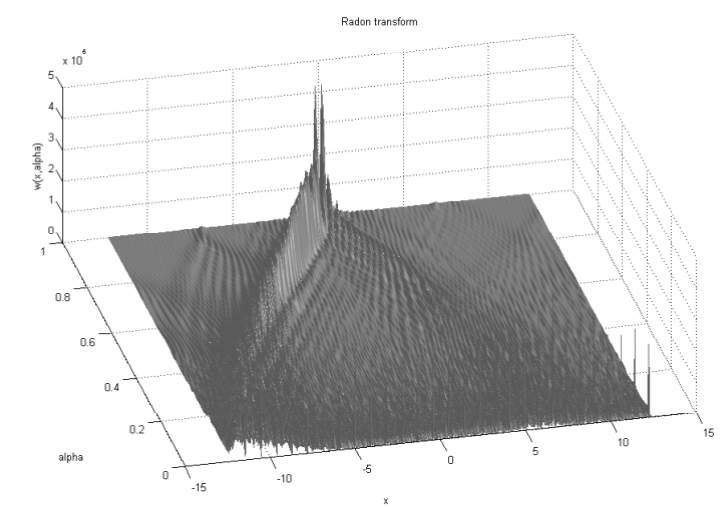
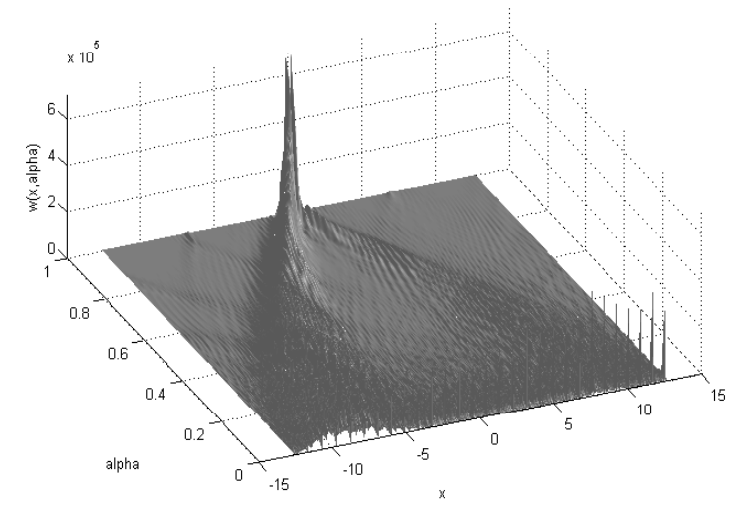
Кардиограммы

Интервал 252-276

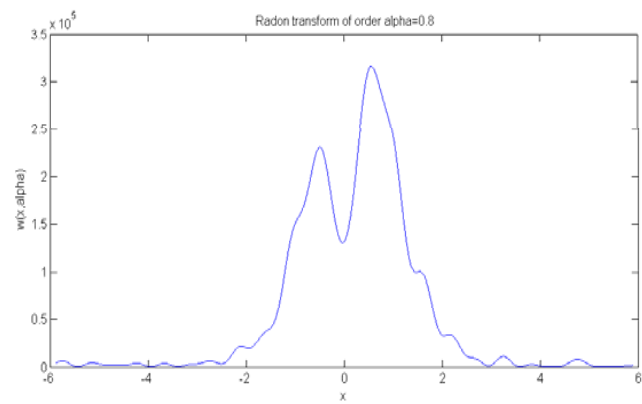
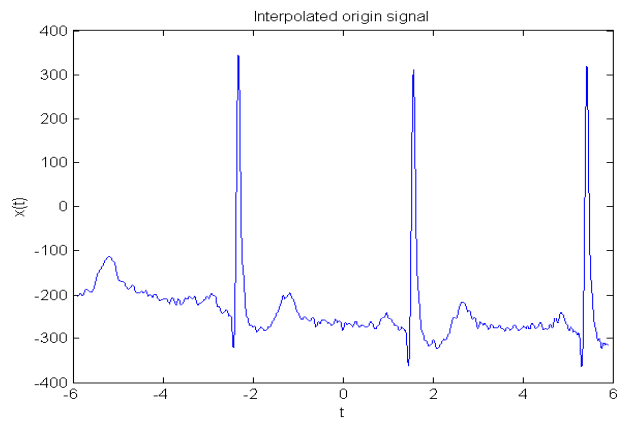




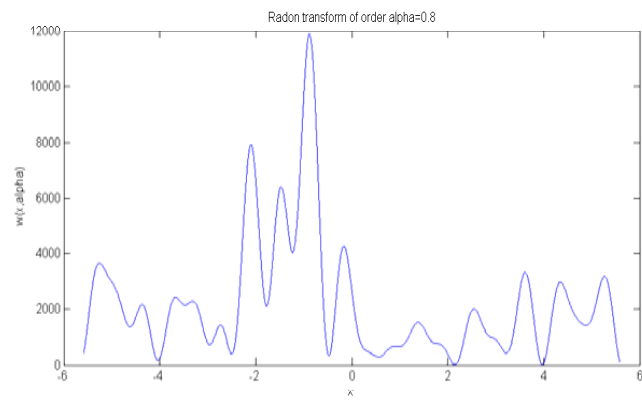
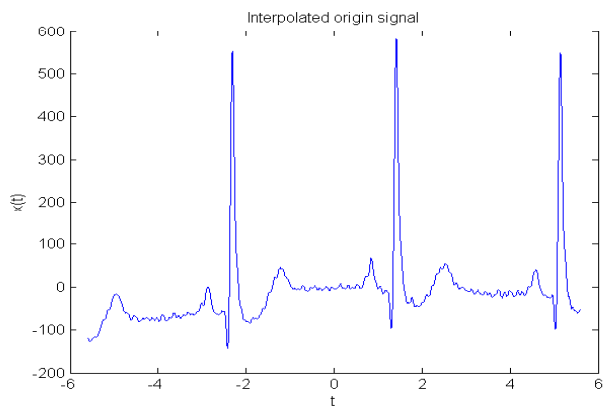
Radon transform



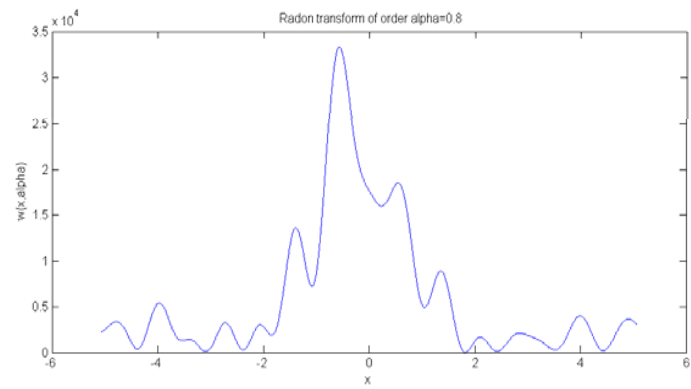
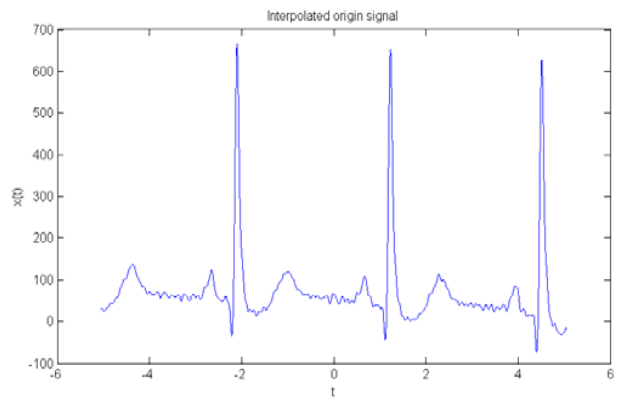
Интервал 250-253

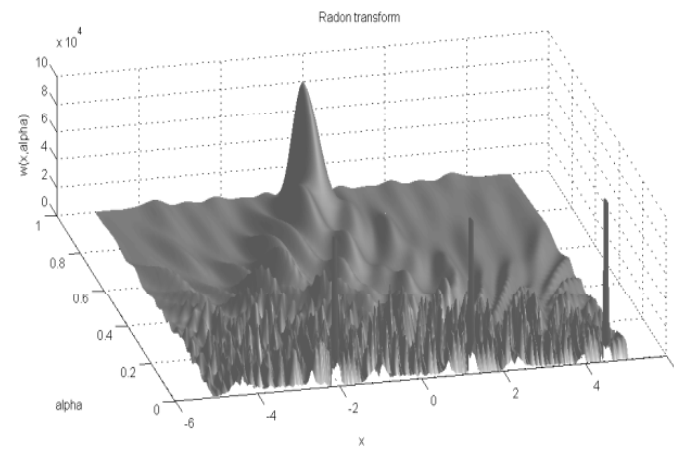
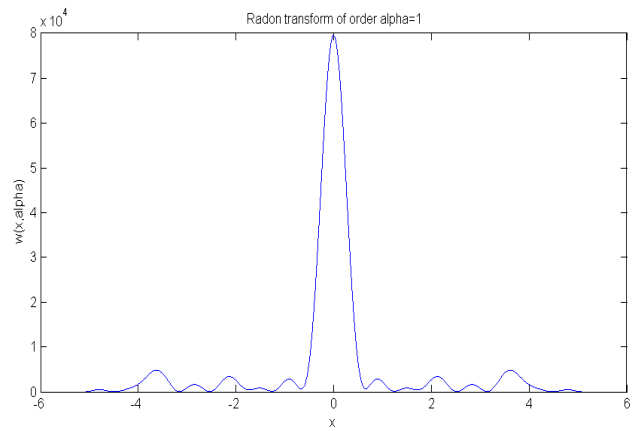
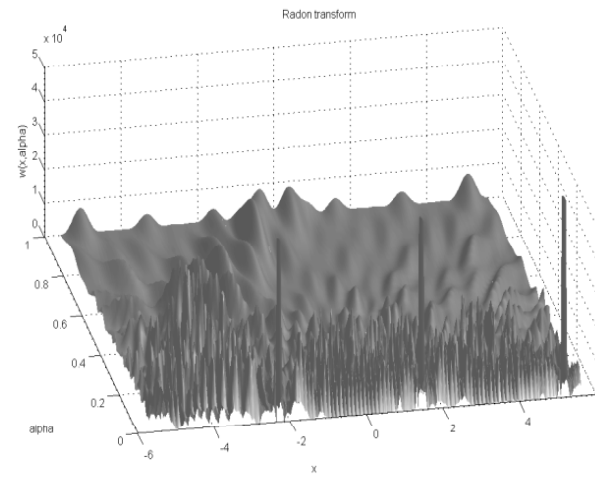
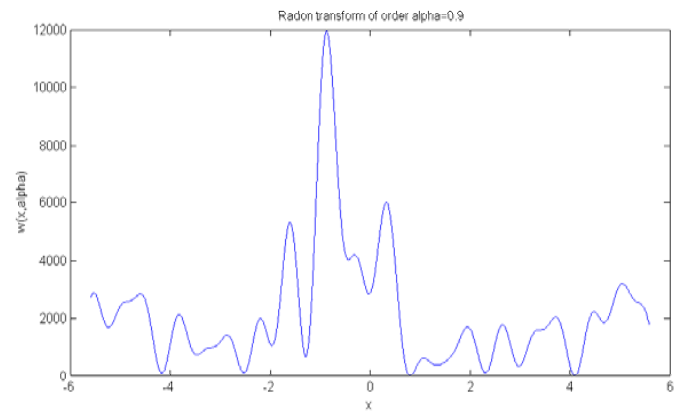
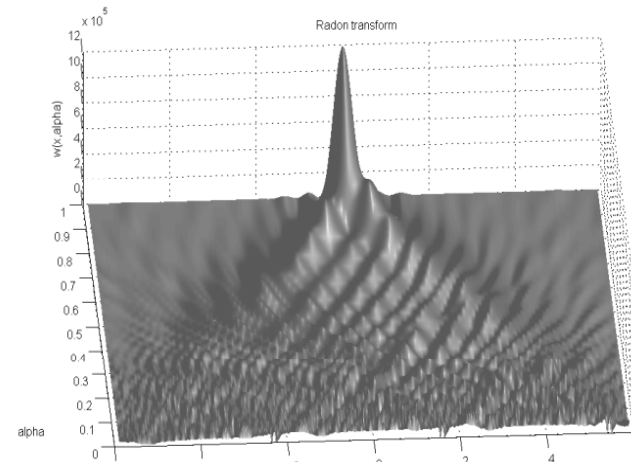
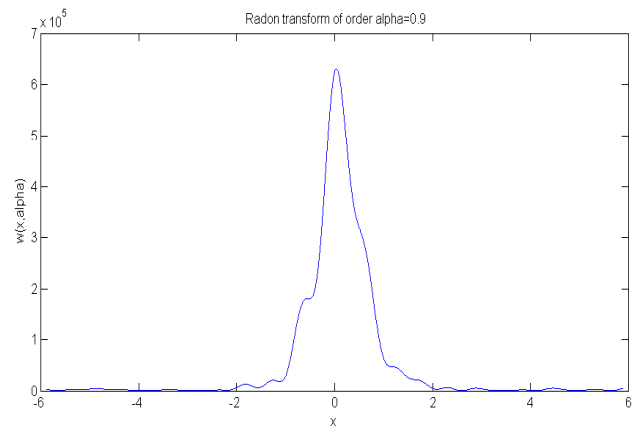


Интервал 258-261

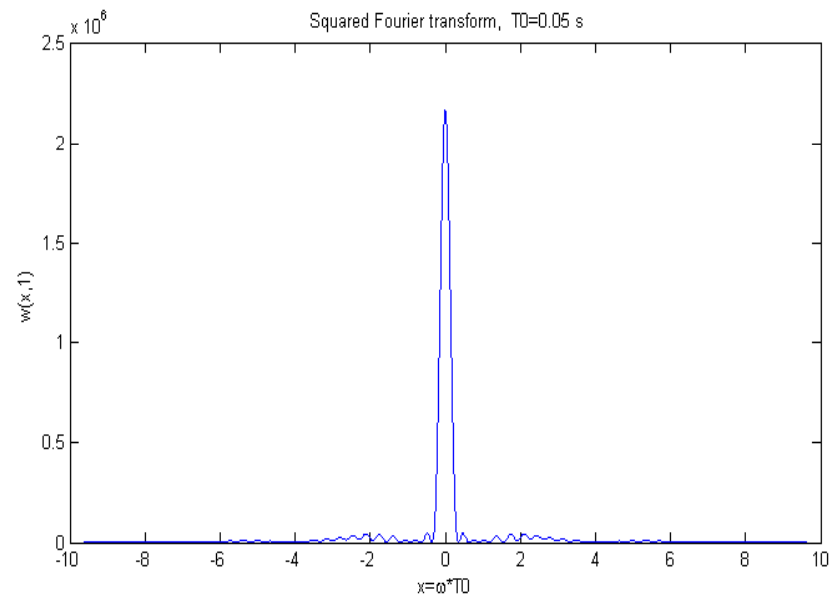
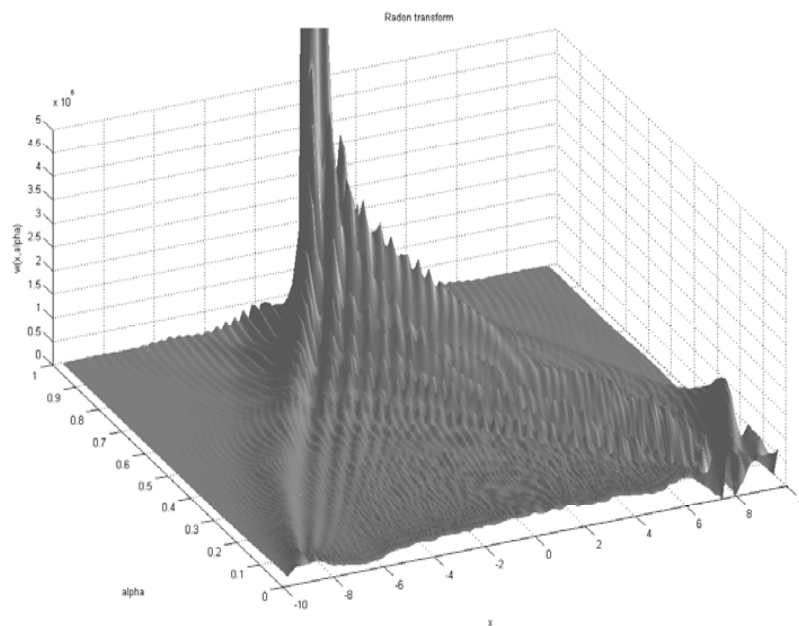
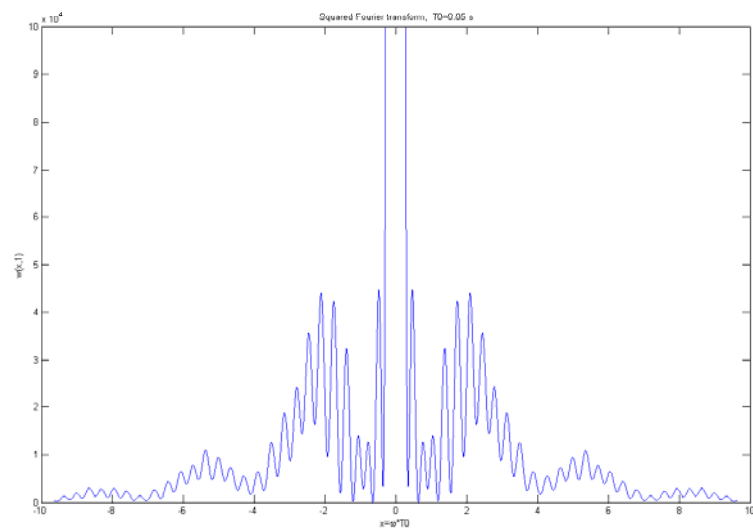
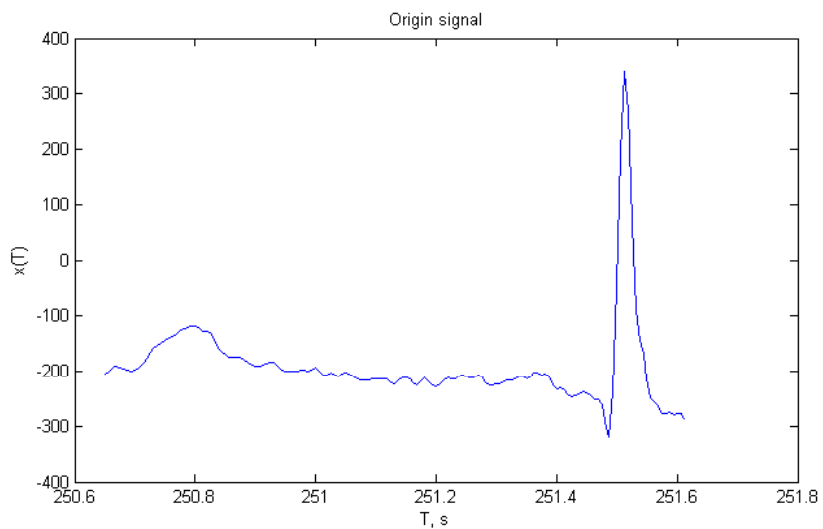


Интервал 270-273

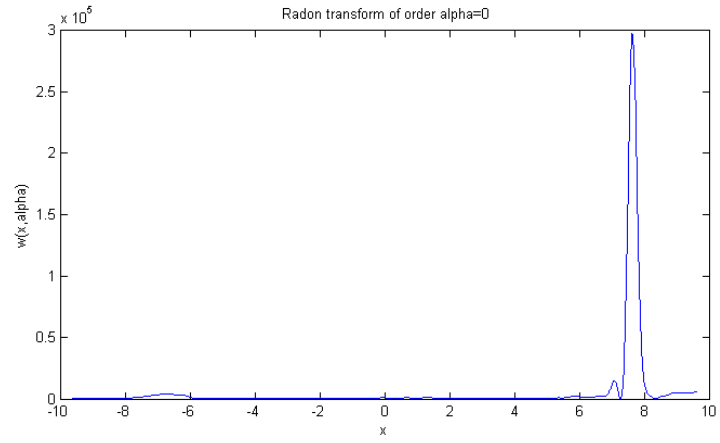
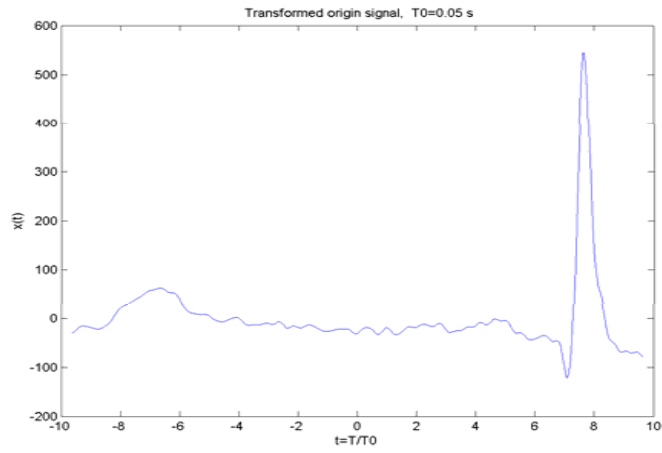




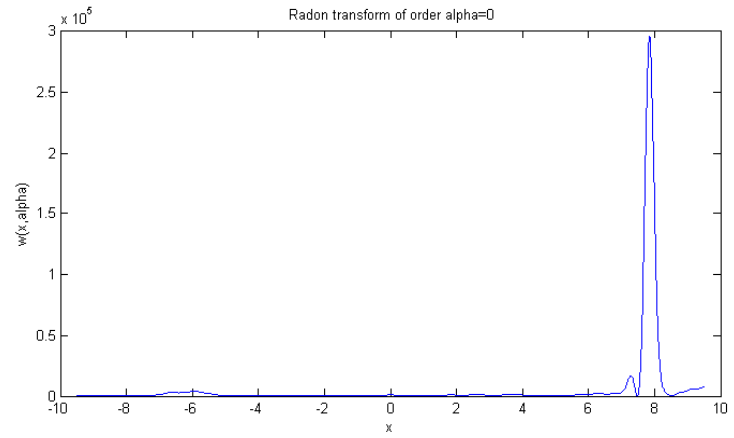
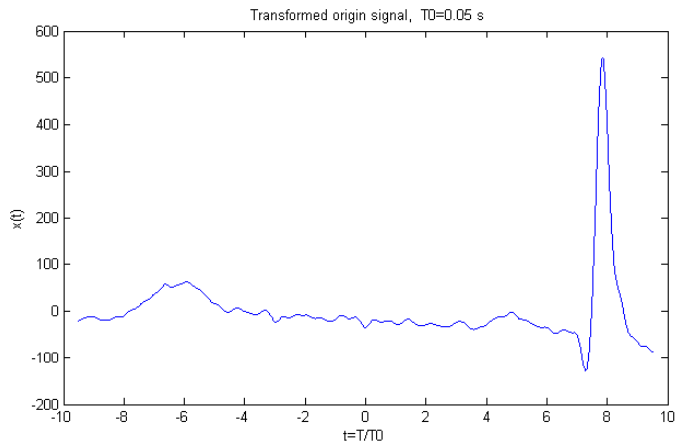
Разбиение интервала 250-253 на три одиночных пульса



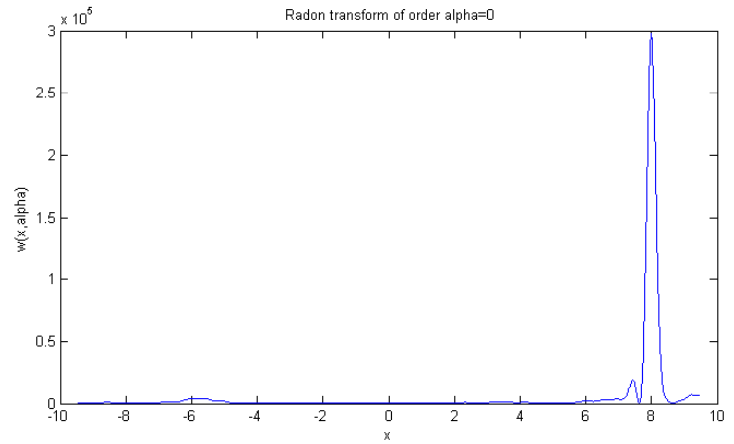
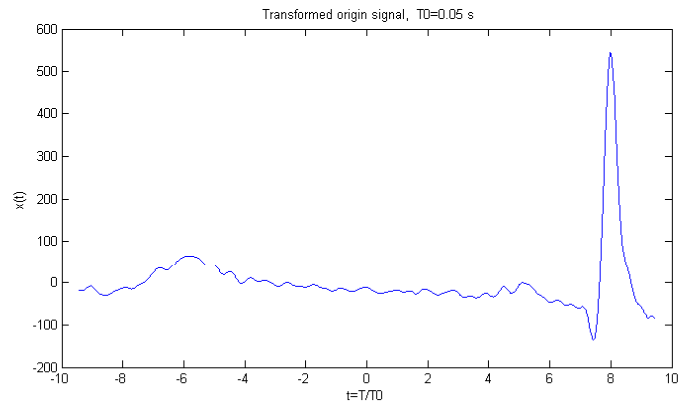
250-251

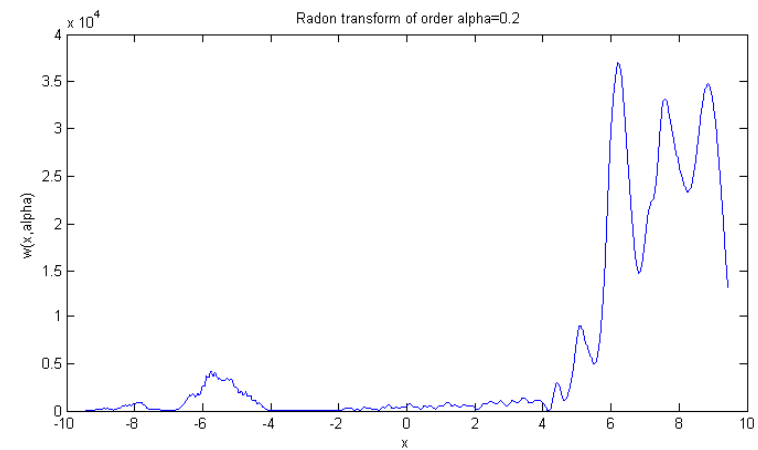
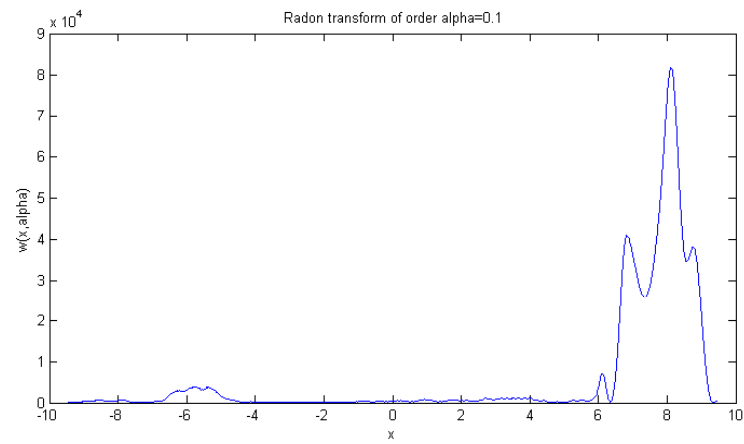
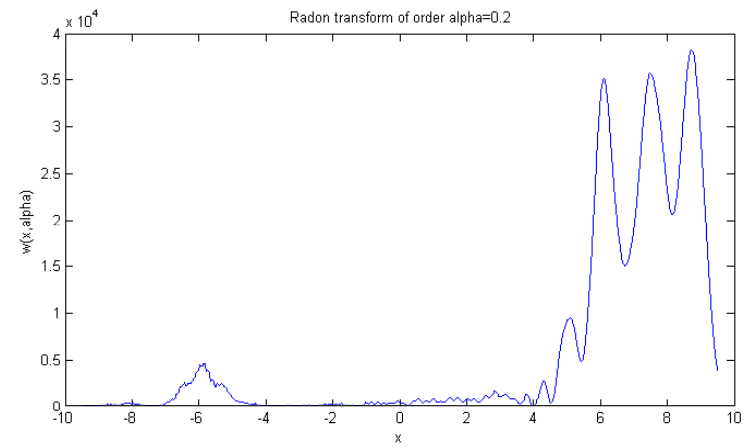
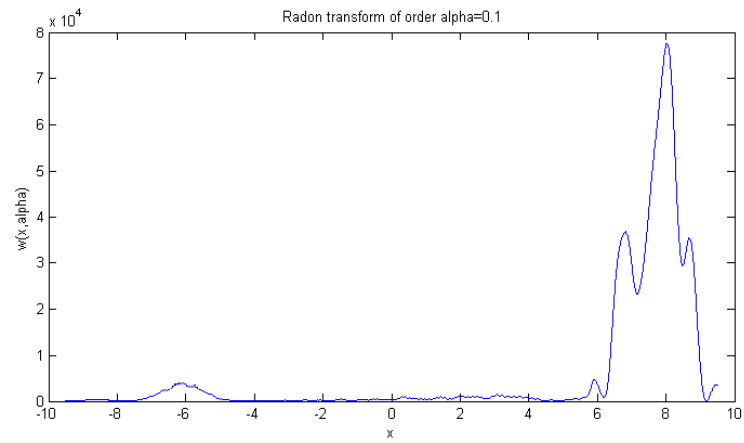
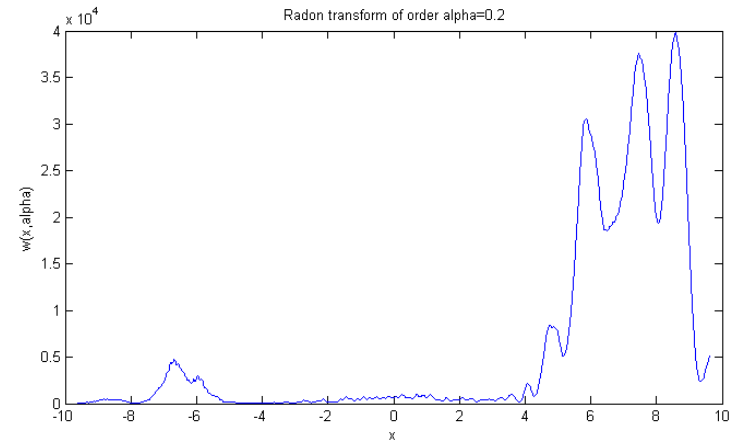
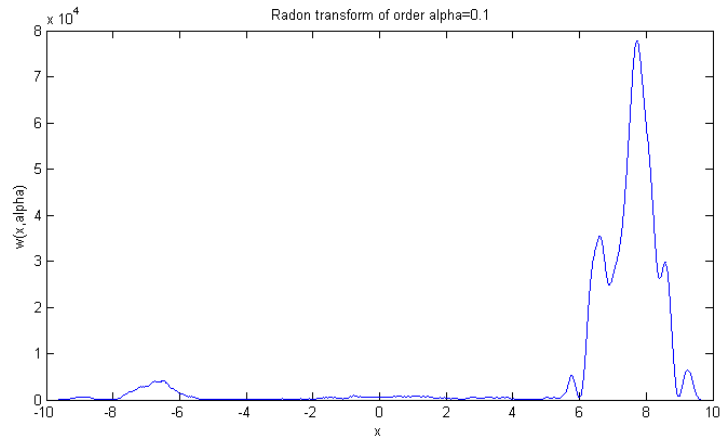


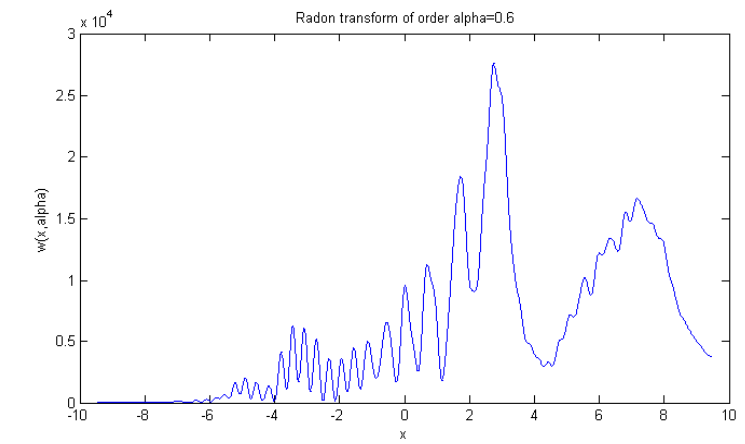
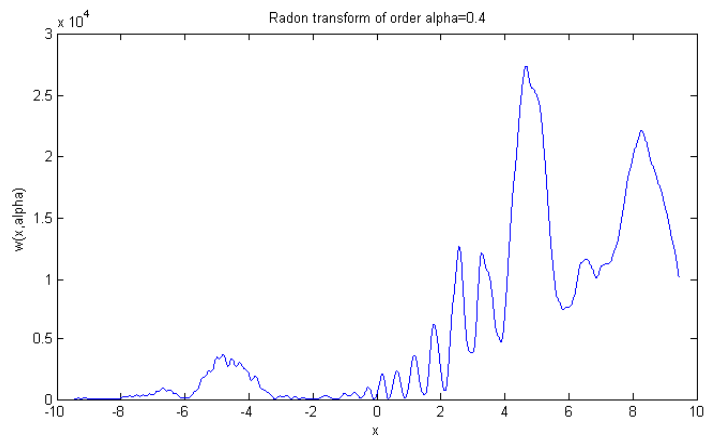
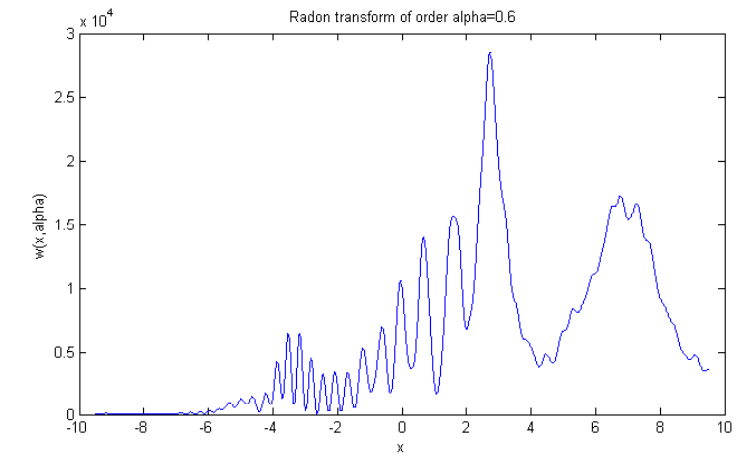
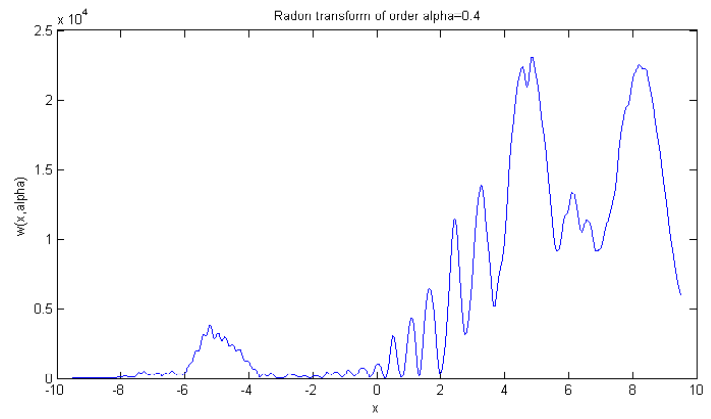
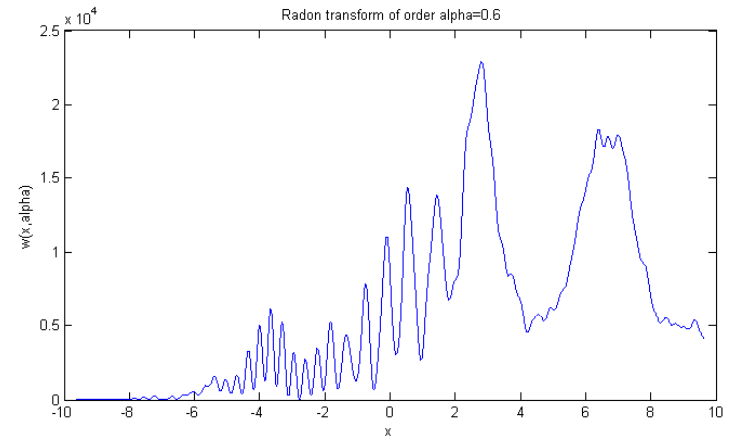
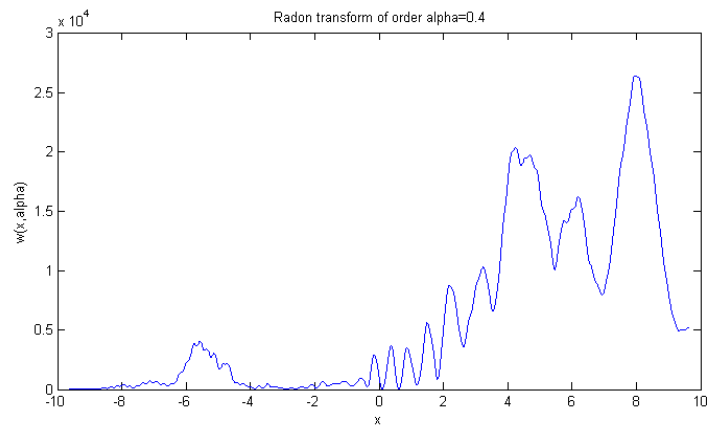
251-252

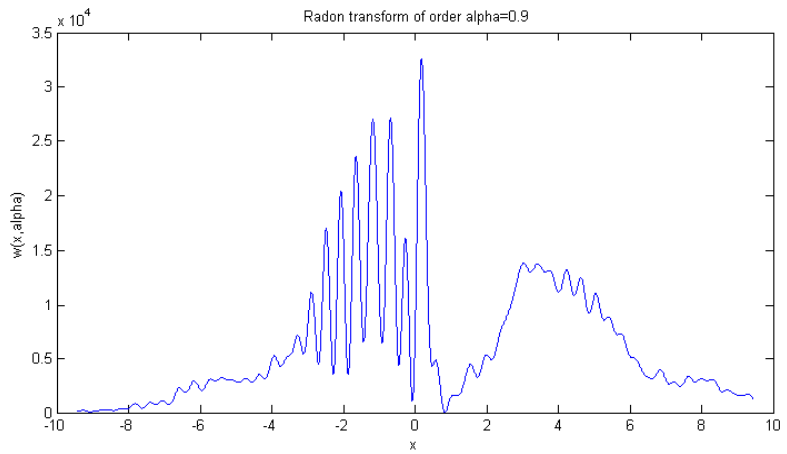
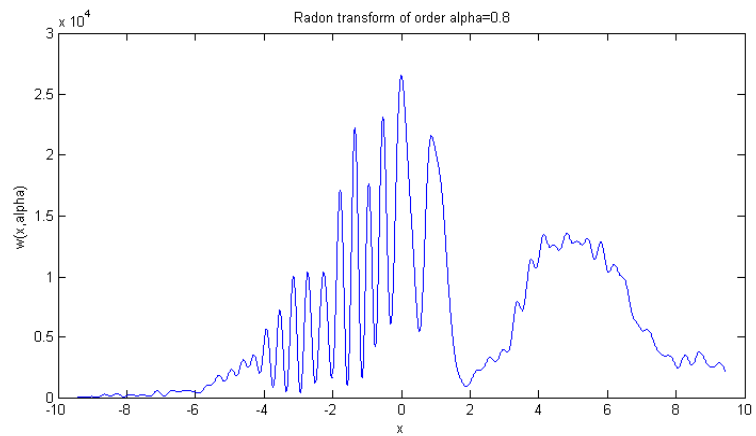
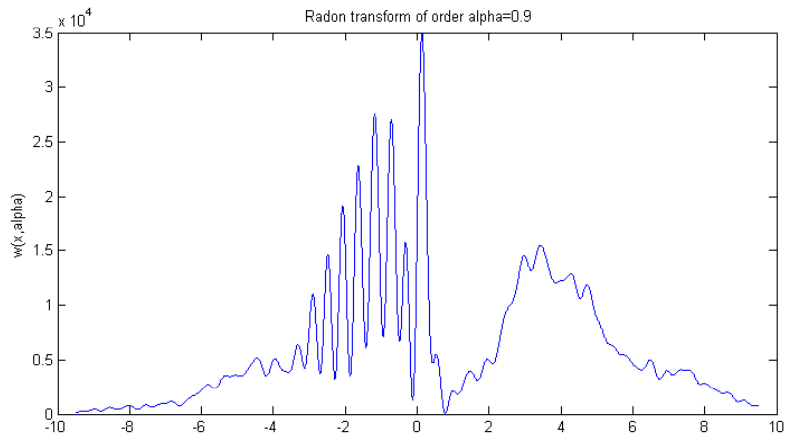
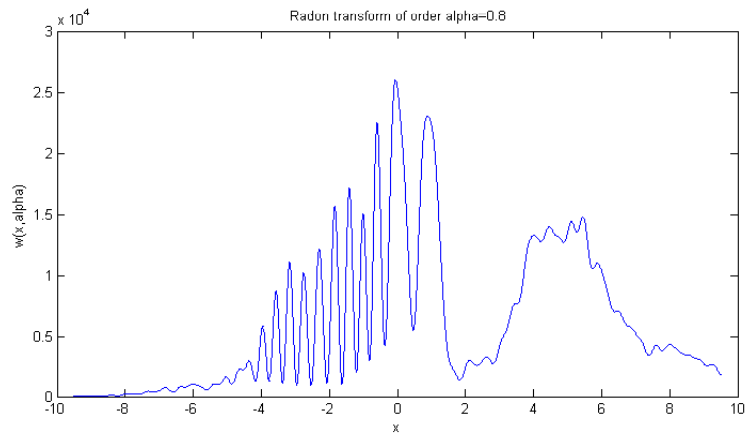
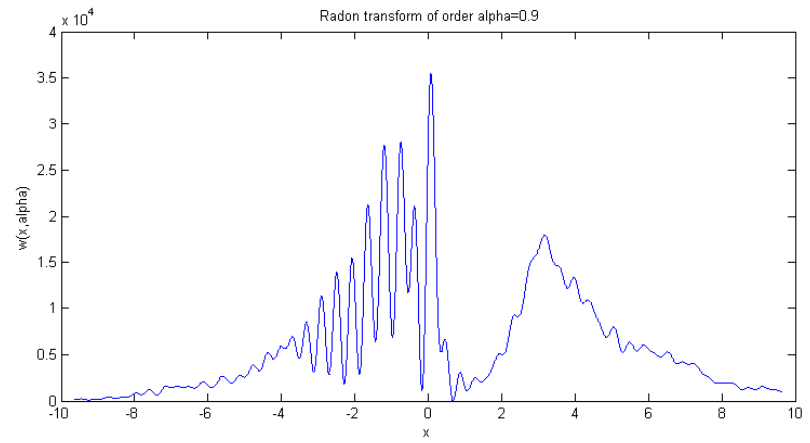
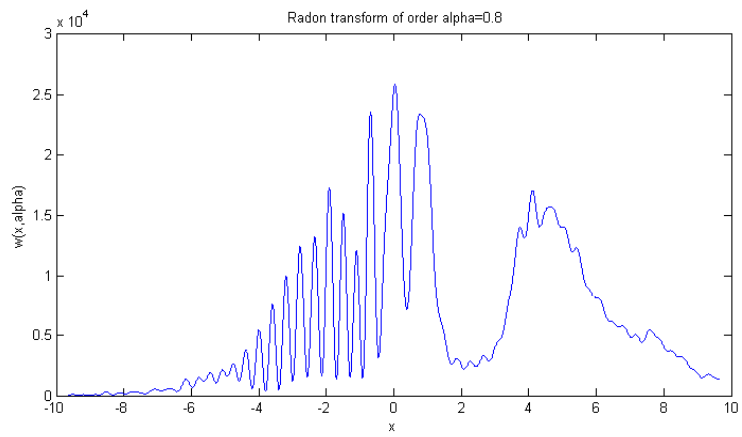


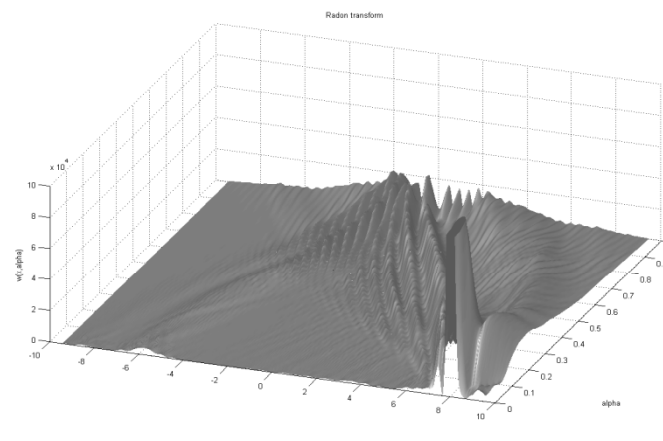
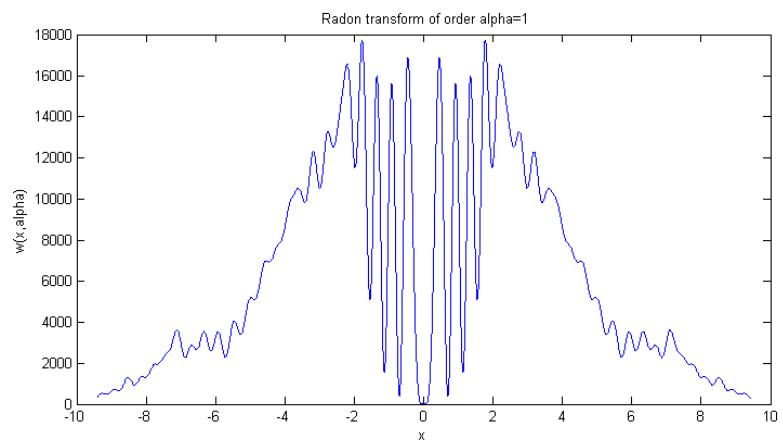
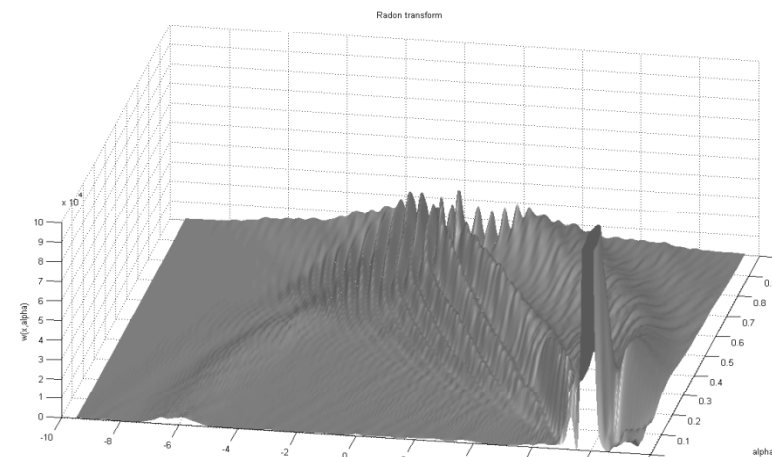
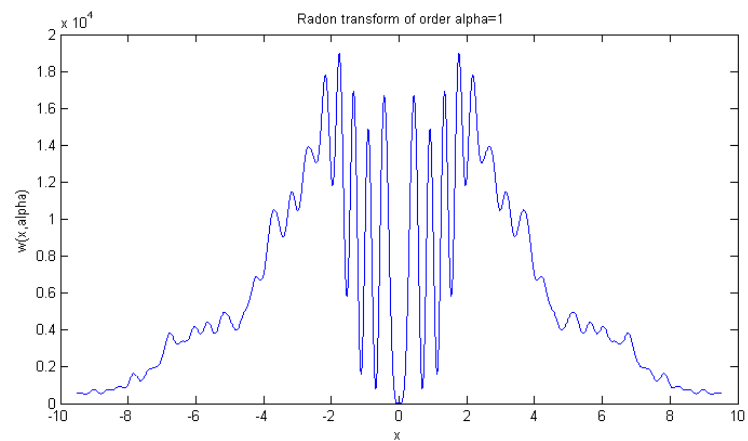
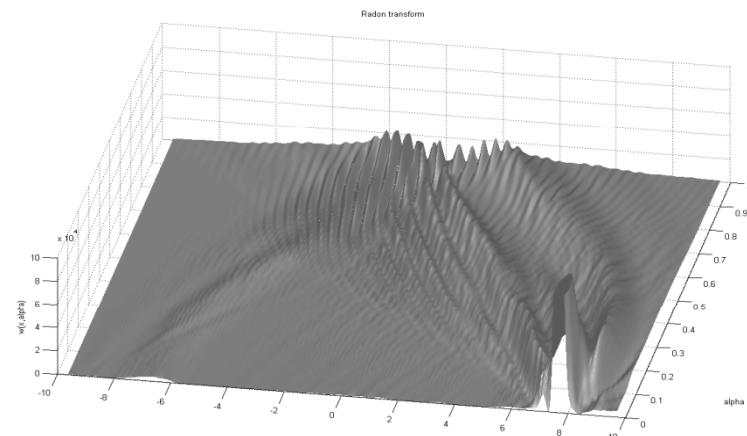
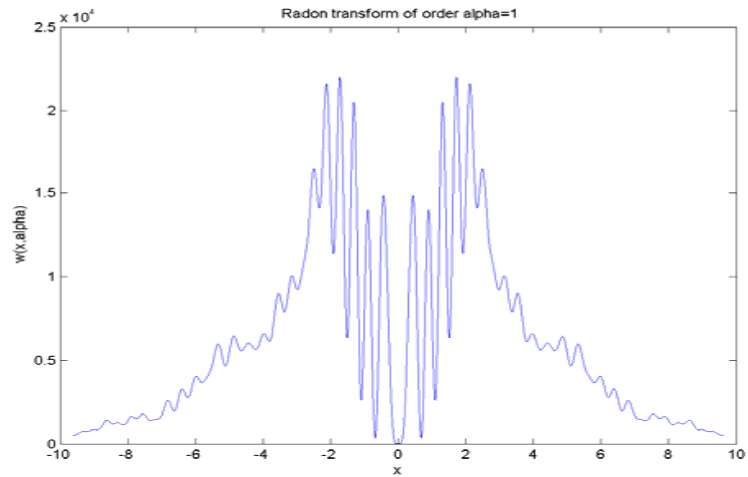
252-253











Очищение от шумов

Signal recognition and adapted filtering by
non-commutative tomography

Carlos Aguirre
R. Vilela Mendes

Rectangular signal –
Rectangular basic functions

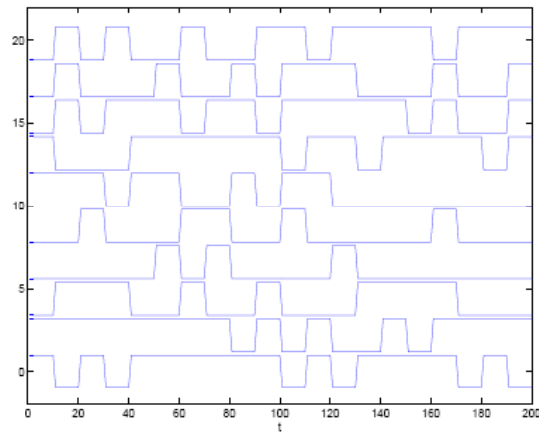


Figure 1: A set of typical signals.

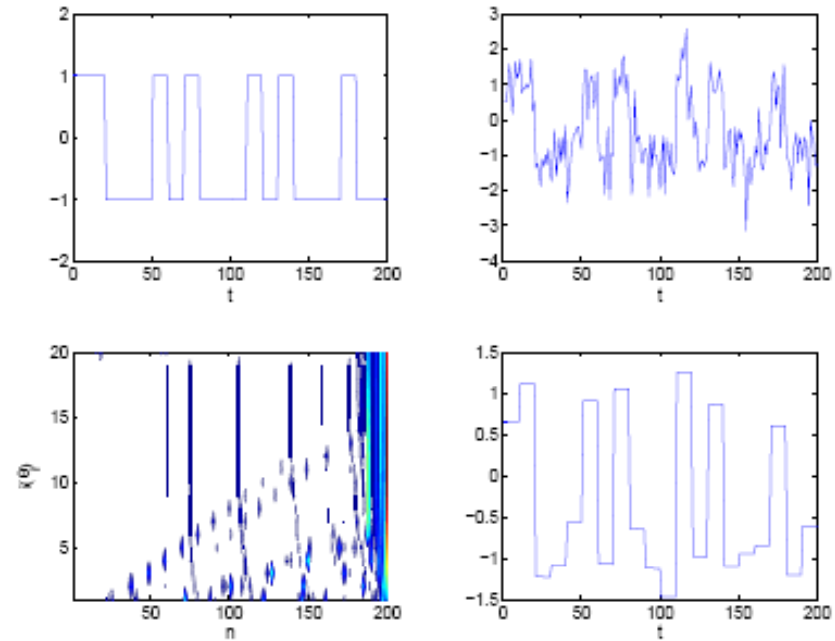


Figure 2: Signal, noisy signal, the tomogram and the projection on the eigenvectors 185 to 200 at $\theta = 19\pi/40$

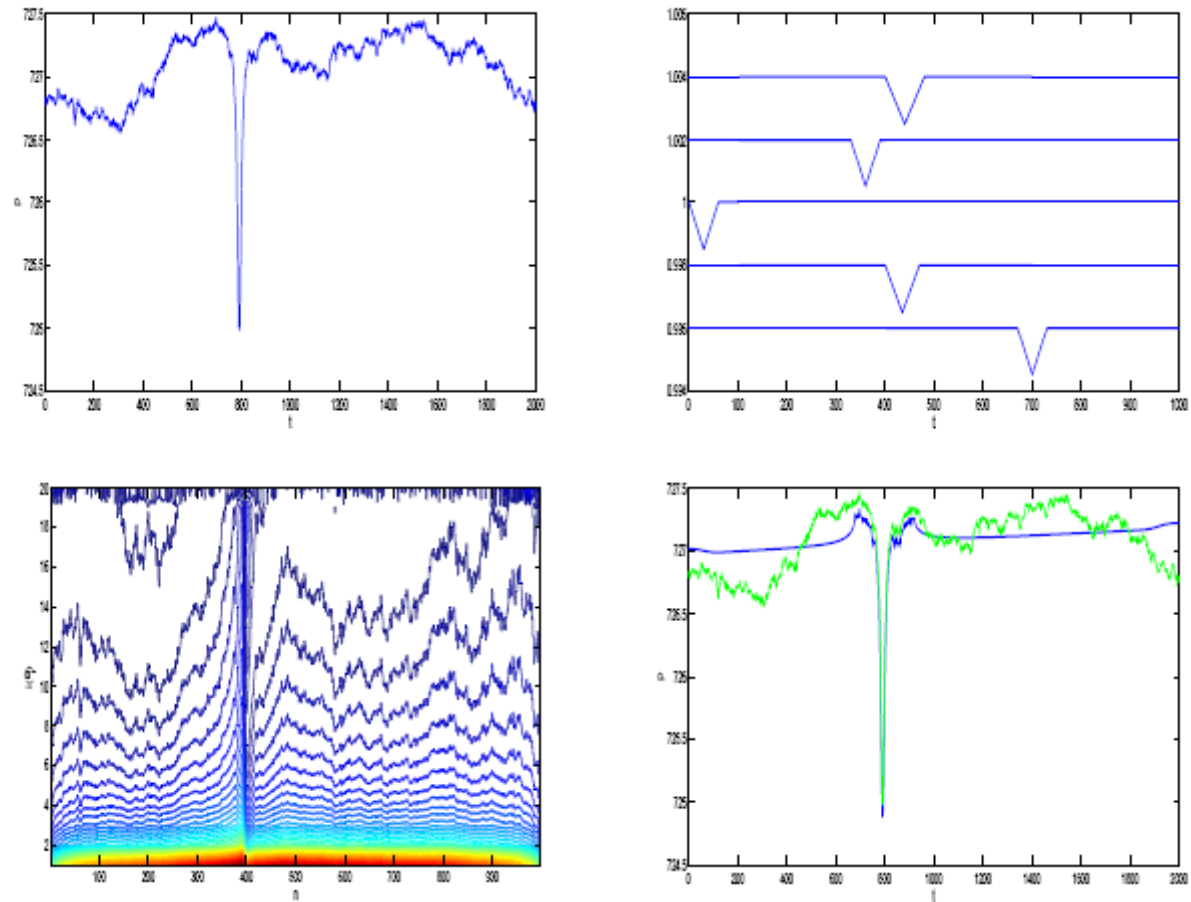


Figure 6: Signal, typical signals, the tomogram (coefs 1-999) and the projection on the eigenvectors 340 to 450 and 1000 at $\theta = 19\pi/40$

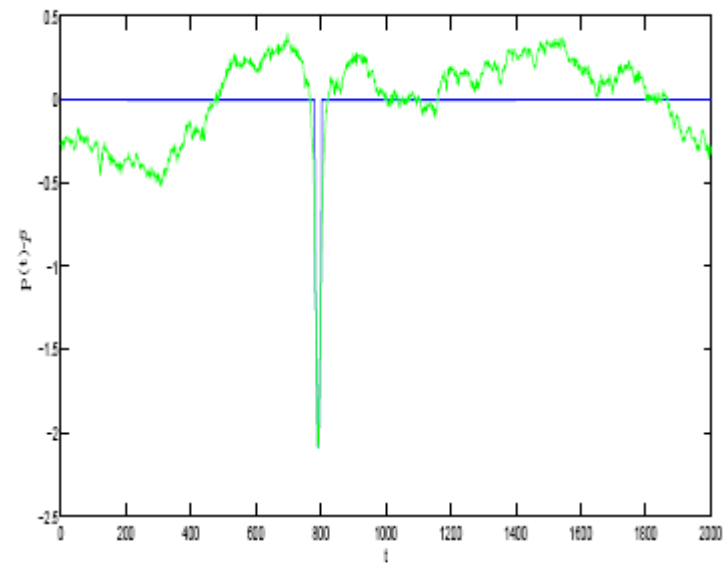
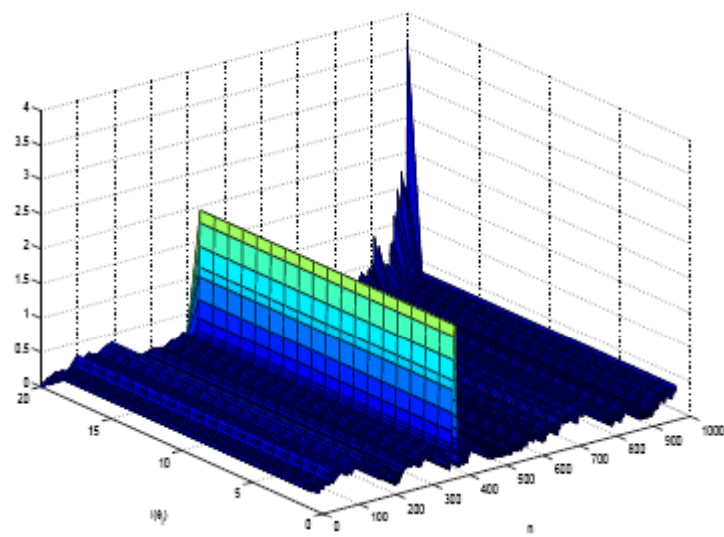
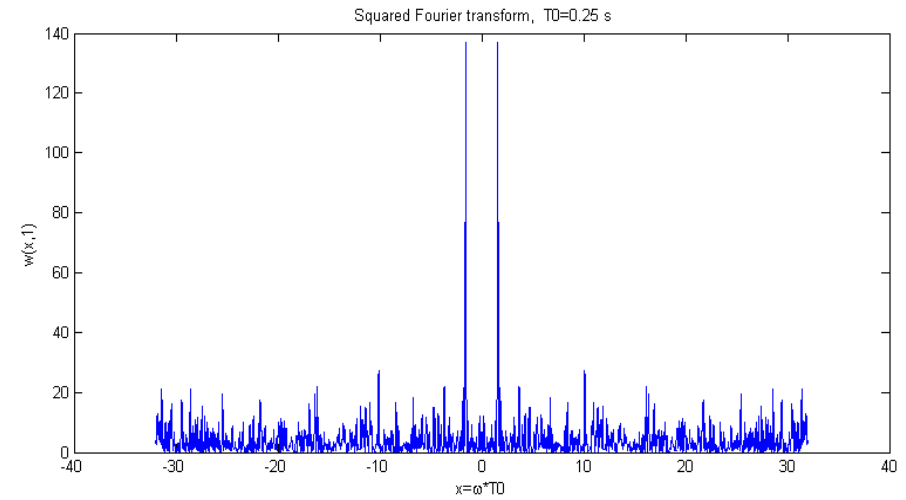
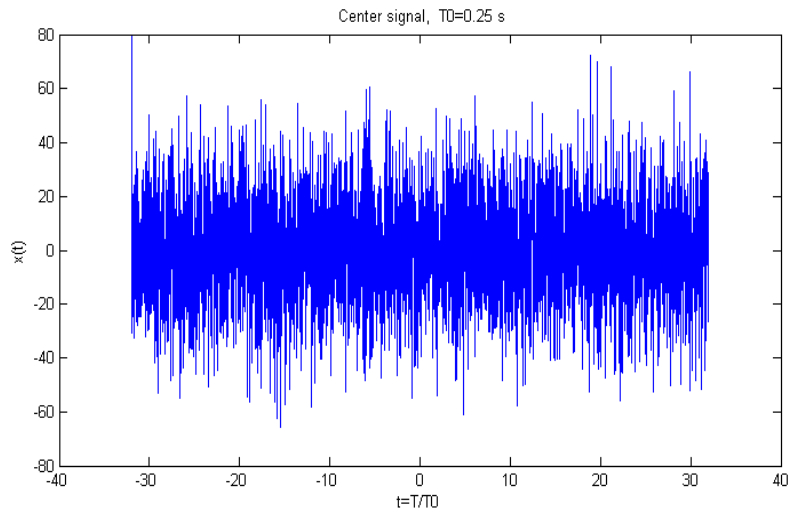
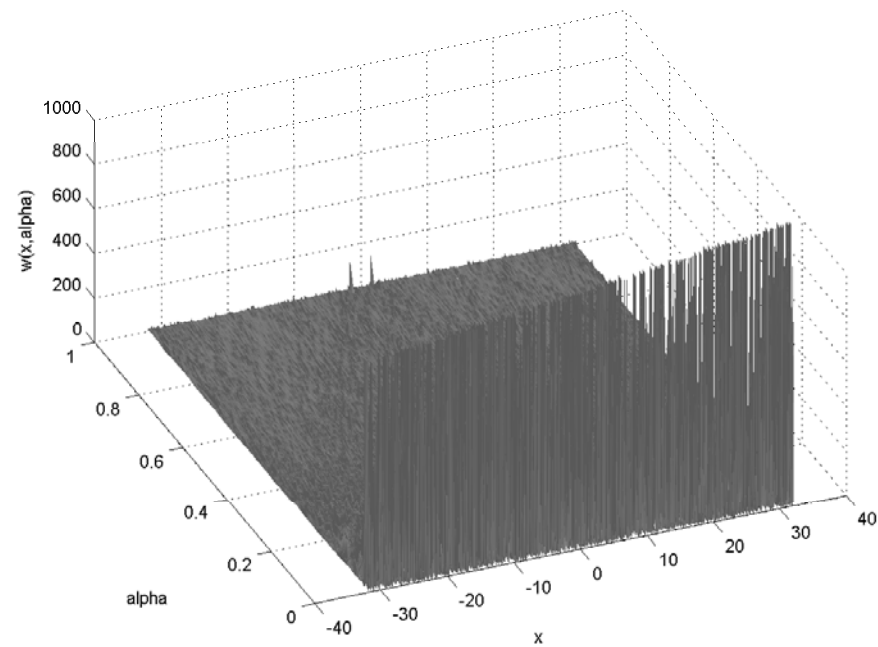


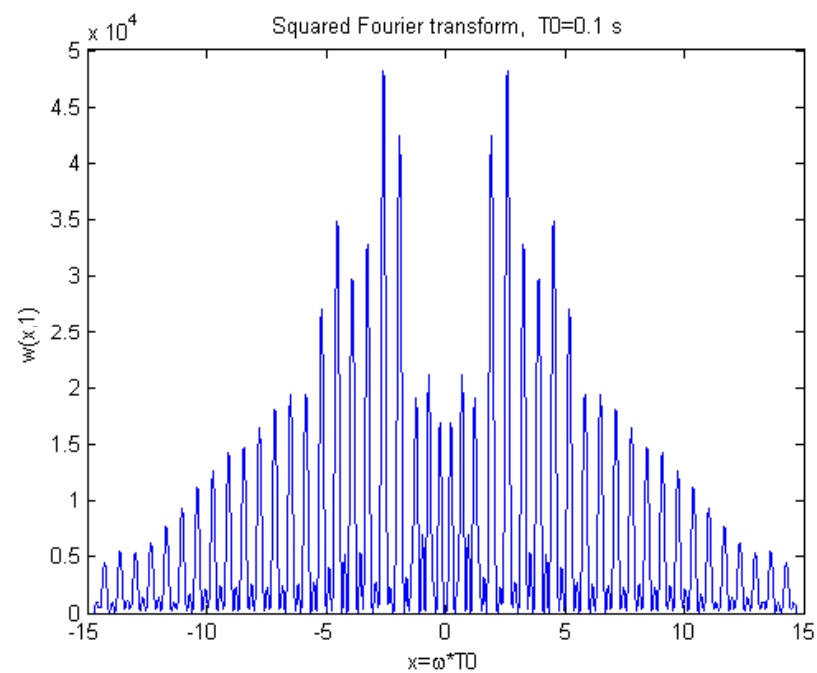
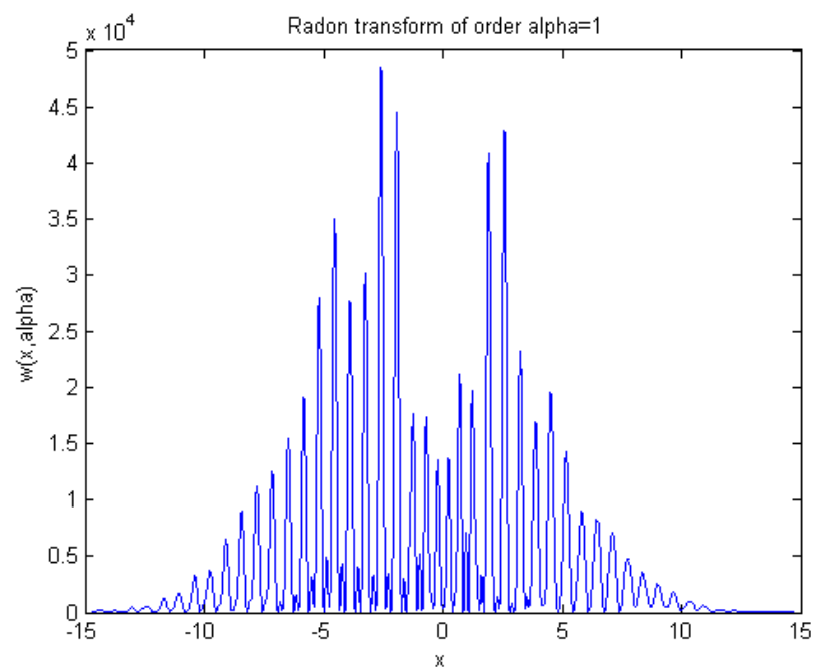
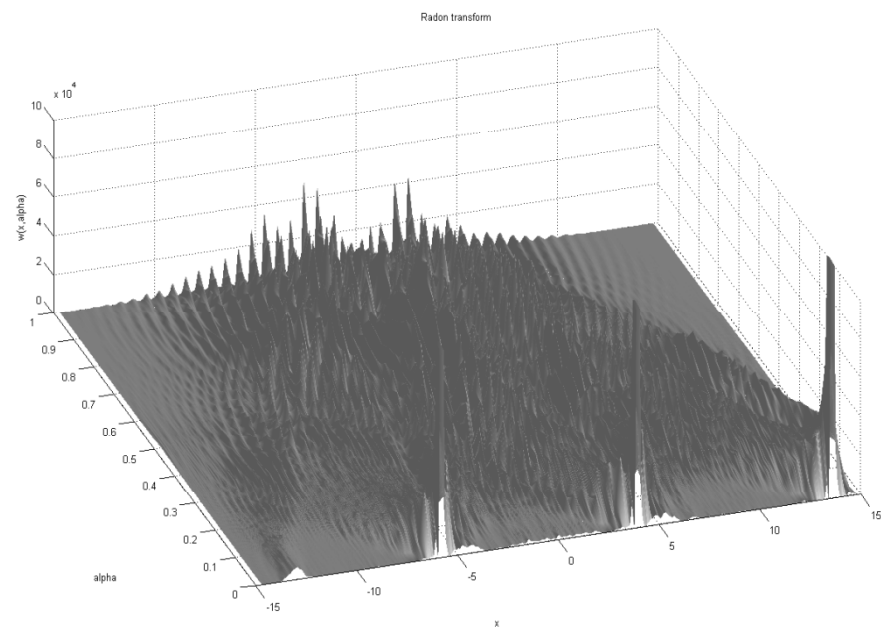
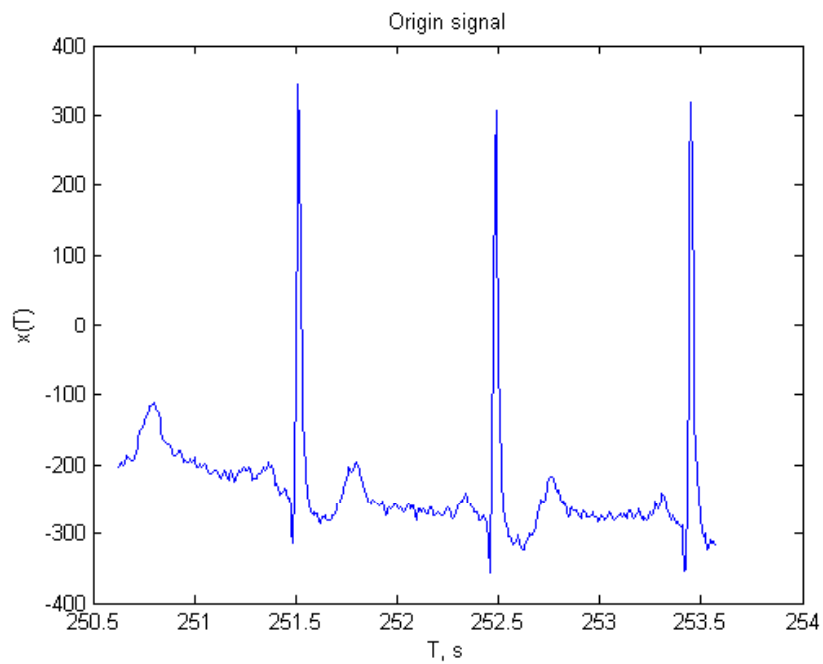
Figure 7: Tomogram for 0 mean typical signals and the projection on the eigenvectors 340 to 450 at $\theta = 19\pi/40$

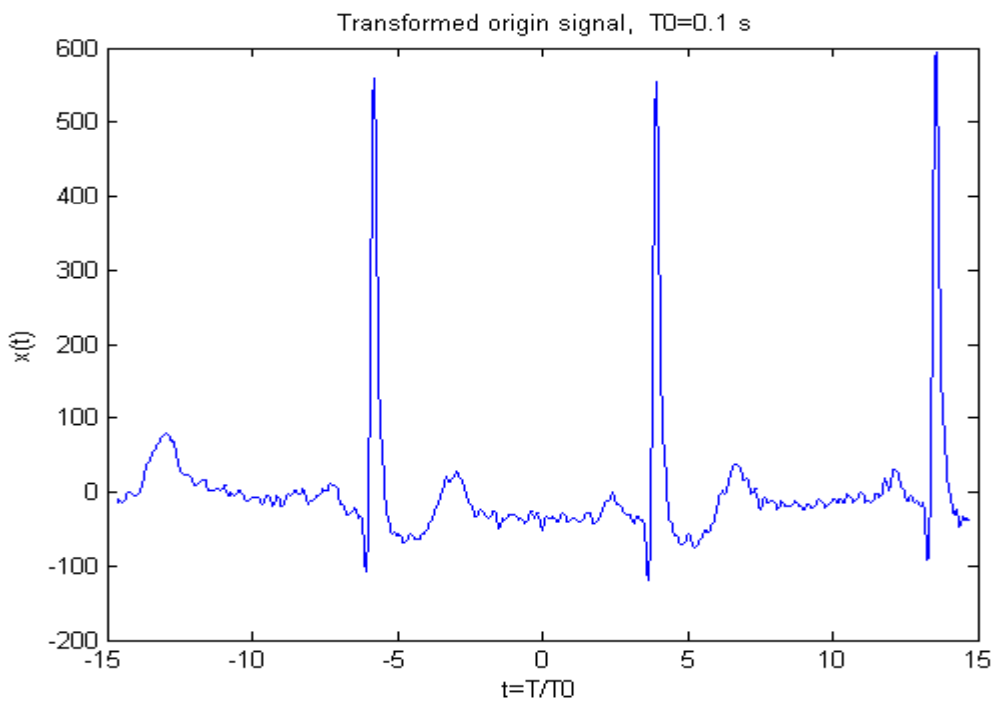
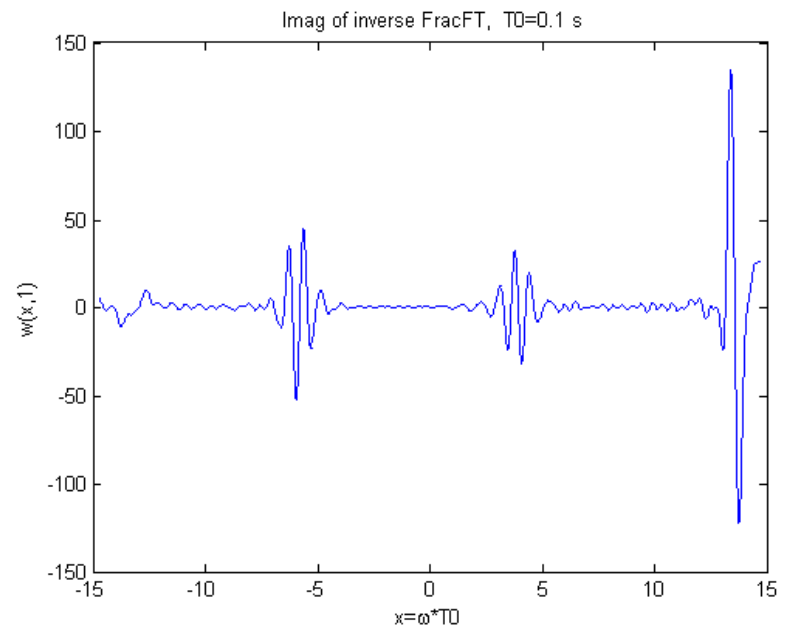
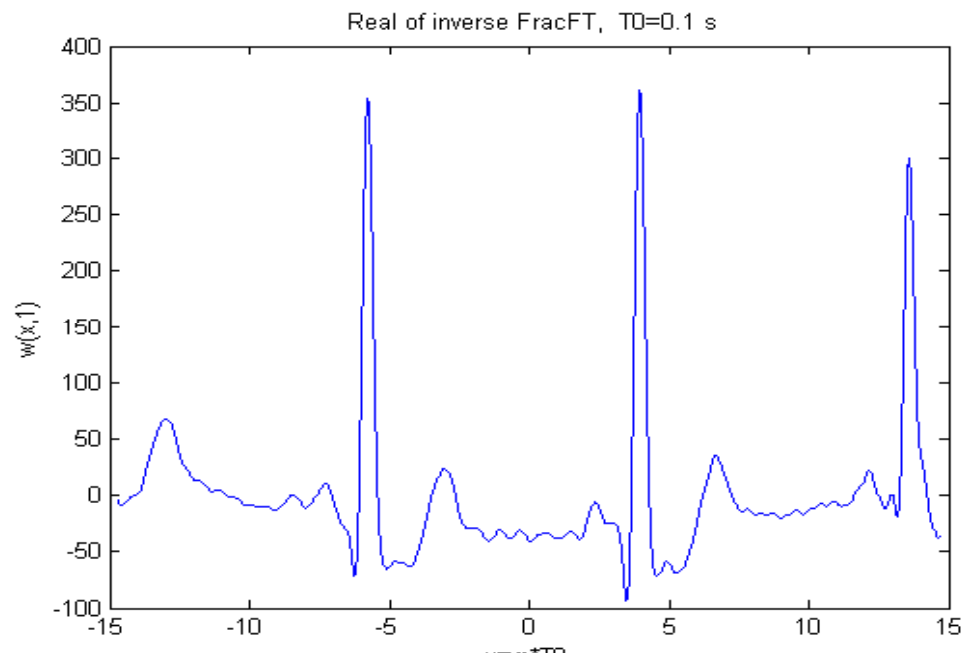
Тестирование периодического сигнала с гауссовым шумом



Radon transform







*Спасибо
за
внимание !*